

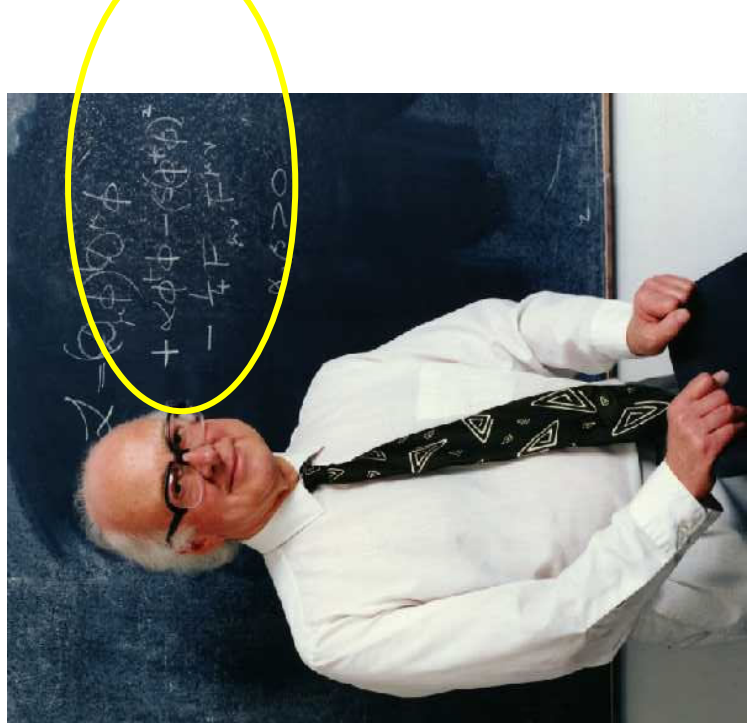
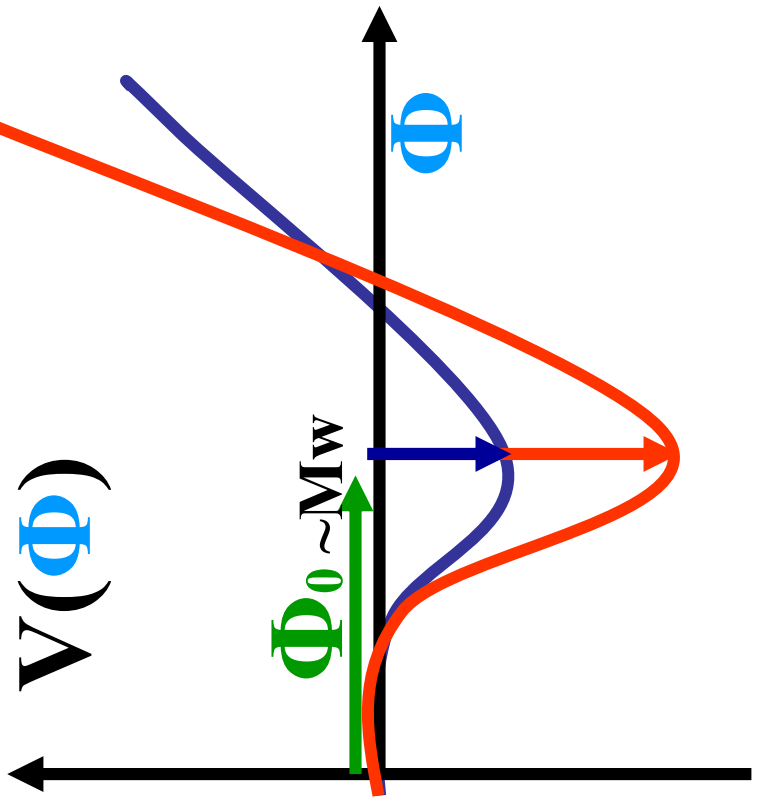
# Přednáška 11.(18.12.2007)

- Higgsův boson
- Supersymetrické částice
- Současná fyzika častic.
- Experiment ATLAS na LHC

# Higgsův mechanismus

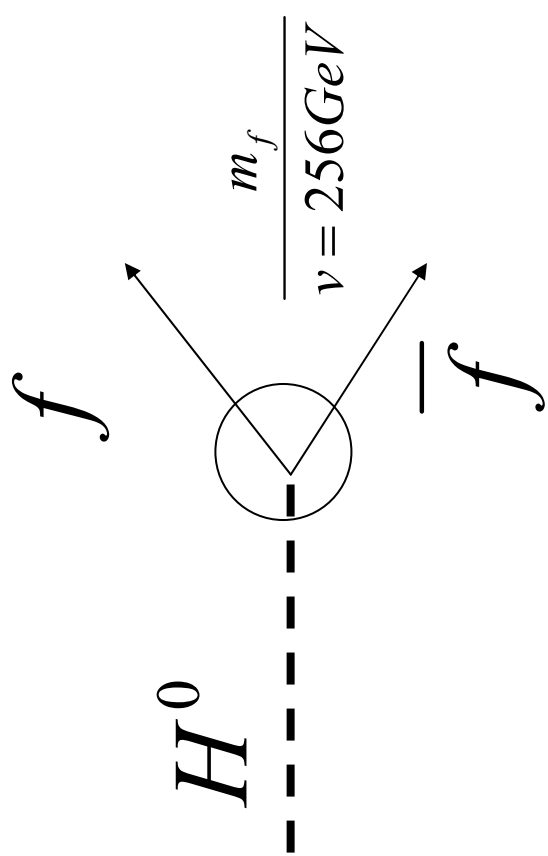
- Řešení problému existence nenulových klidových hmot intermediálních bosonů W a Z.

- Předpokládáme nehmotné vektorové pole A a nehmotné skalární pole S interakčním potenciálem, který má minimum v  $\Phi_0$ .
- Rozvoj okolo hodnoty minima vede k existenci hmotného vektorového pole s hmotou úměrnou  $\Phi_0$  a hmotného skalárního pole s hmotou úměrnou druhé derivaci potenciálu V v bodě  $\Phi_0$ .



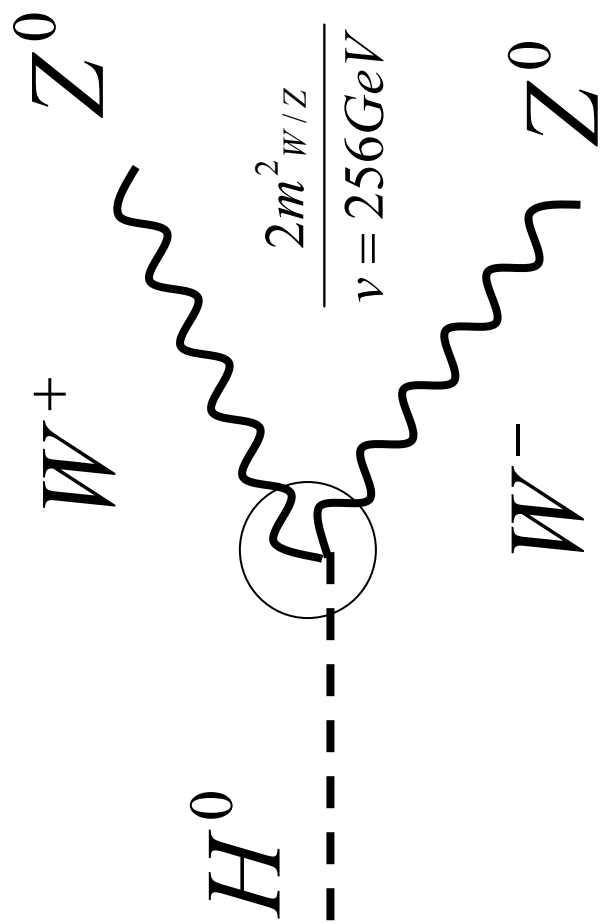
P. W. Higgs

- Higgsův boson je hmotná částice se spinem 0, dosud neobjevená

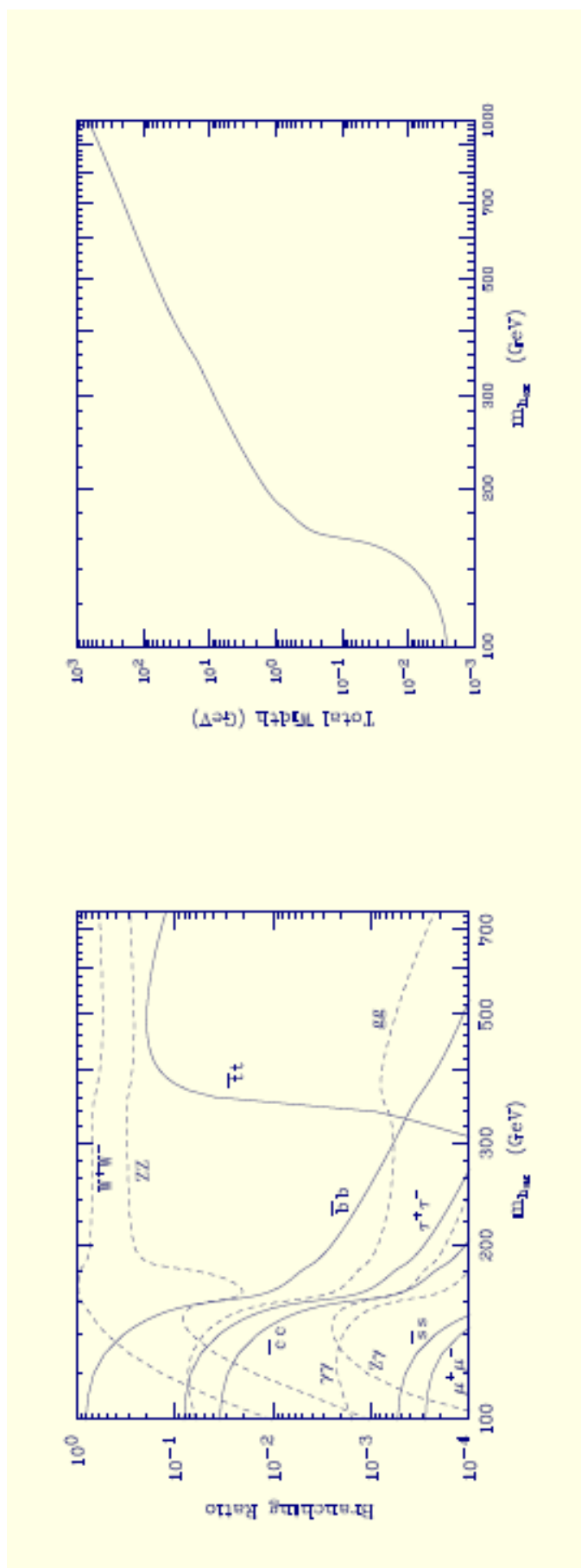


- V nejjednodušší verzi existuje jeden  $H$  s nulovým nábojem a spinem 0

- Amplituda rozpadu  $H$  je úměrná hmotě částic na něž se může Higgsův boson rozpadnout (pravděpodobnost je úměrná kvadrátu hmoty)
- **Higgsův boson se rozpadá na nejtěžší částice na něž se může rozpadnout**

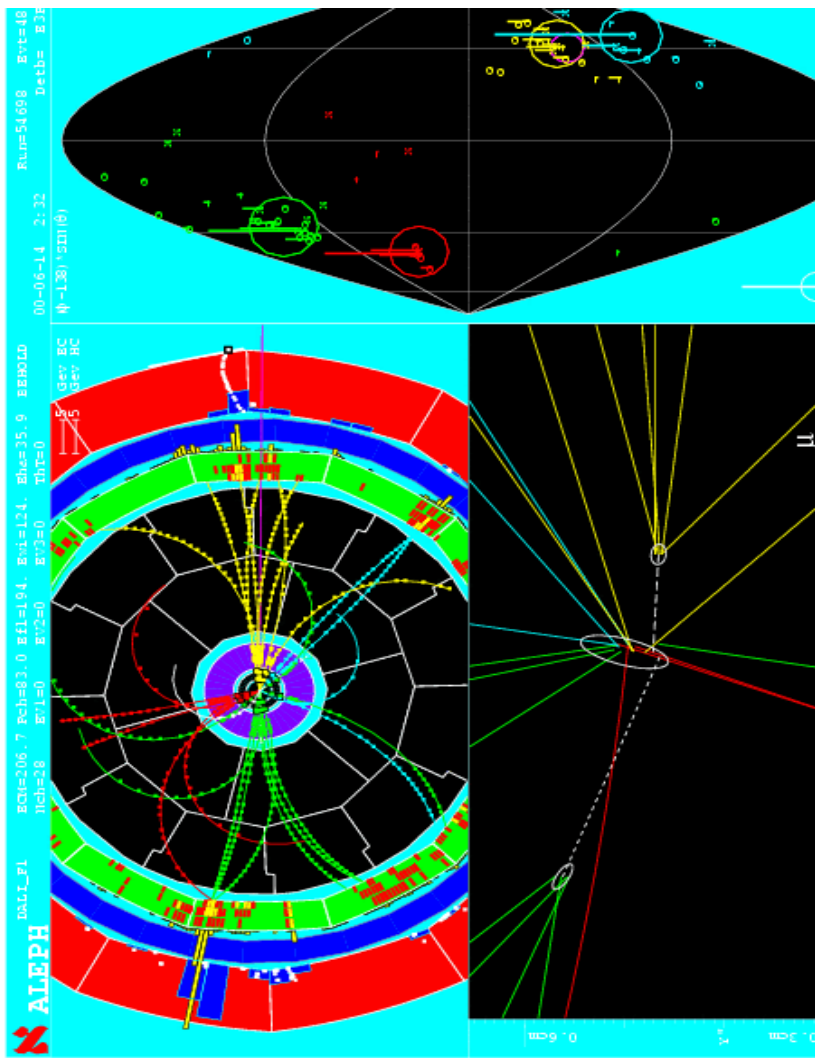


- Amplituda rozpadu  $H$  je úměrná hmotě částic na něž se může Higgsův boson rozpadnout (pravděpodobnost je úměrná kvadrátu hmoty)
  - Higgsův boson se rozpadá na nejtěžší částice na něž se může rozpadnout



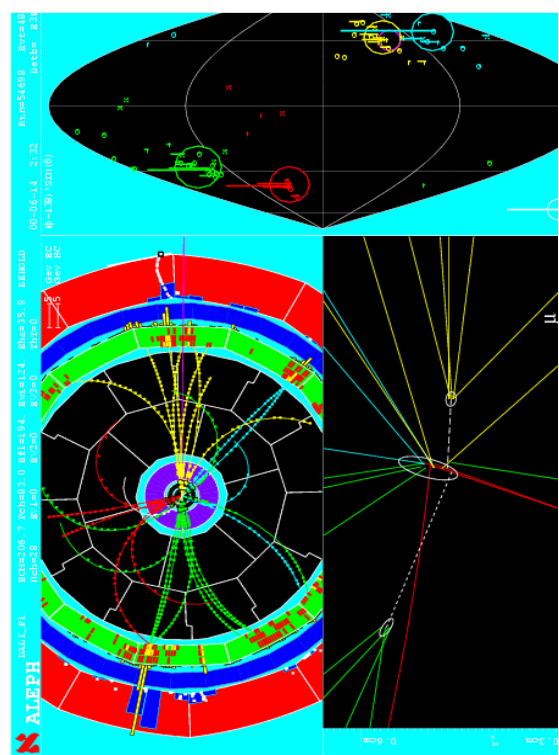
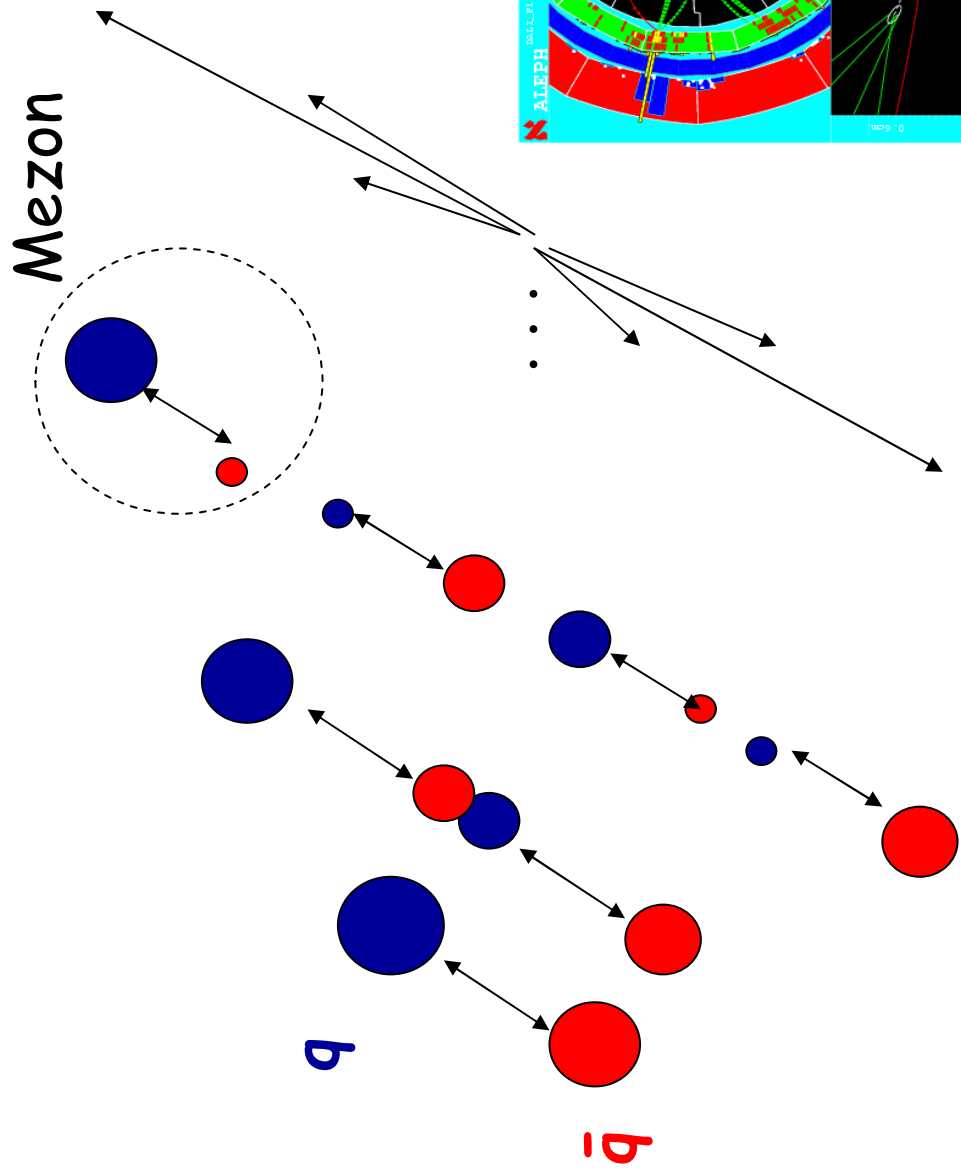
# Byl v experimentech na LEP v závěru roku 2000 pozorován Higgsův boson ?

$$e^+ e^- \rightarrow H \rightarrow Z \rightarrow qq \quad b\bar{b}$$



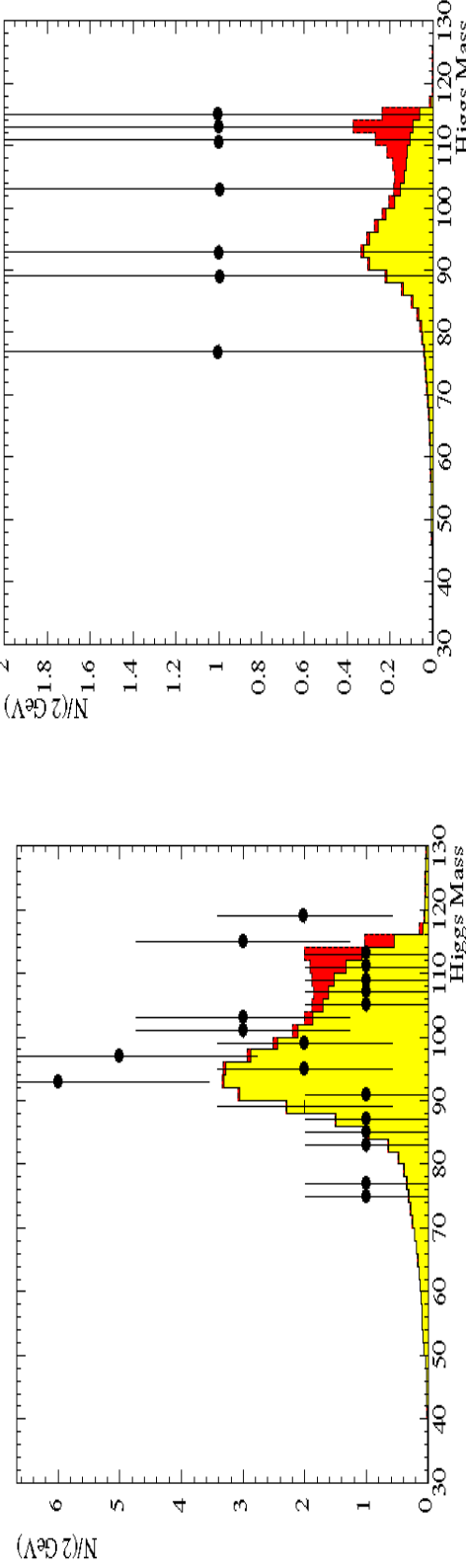
Příznak **b-jetu** je  
existence tzv.  
**sekundárních vrcholů**  
v jetu, jejichž původ je  
v rozpadech relativně  
dlouhožijících B  
mezonů

# Vznik jetů



# Rozdělení invariantní hmoty páru b-jetů v experimentu ALEPH

$$(E, \vec{p}) = (\vec{E}_1, \vec{p}_1) + (\vec{E}_2, \vec{p}_2) + \dots + (\vec{E}_n, \vec{p}_n)$$
$$M^2 = E^2 - \left( \vec{p}_1 \right)^2 = \left( E_1 + \dots + E_n \right)^2 - \left( \vec{p}_1 + \dots + \vec{p}_n \right)^2$$



**Publikace:**

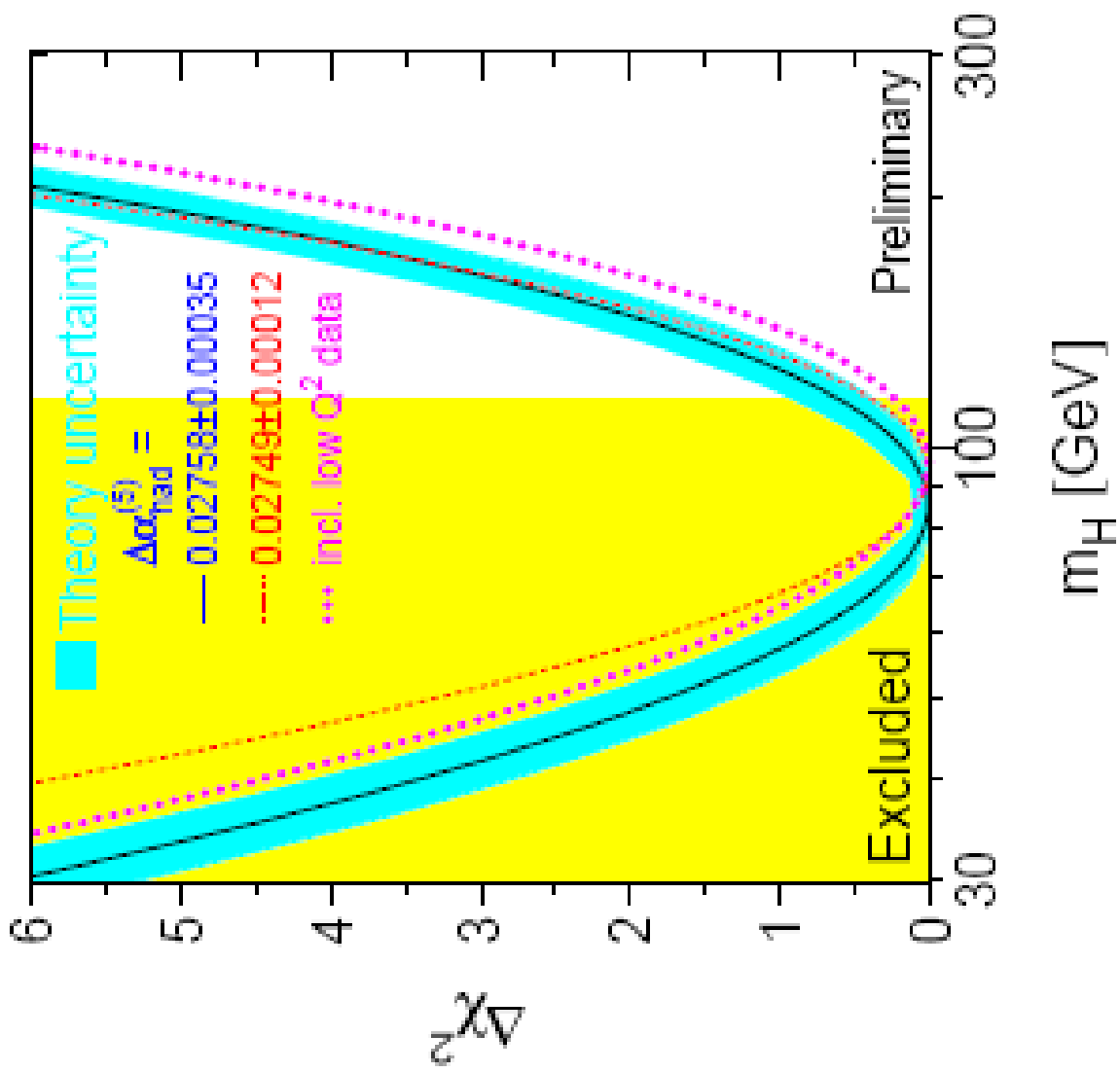
**ALEPH Coll.**, Observation of an Excess in the Search for the Standard Model Higgs Boson at ALEPH, CERN-EP/2000-138

**L3 Coll.**, Higgs Candidates in  $e+e-$  Interactions at  $\sqrt{s}=206.6 \text{ GeV}$ , CERN-EP/2000-140, Phys. Lett. B, 495 (2000) 18.

**Experimenty DELPHI a OPAL** tento efekt nepozorovaly.

**Závěr - Higgs nebyl pozorován a jeho hmotota je větší než 114 GeV**

# Hledání Higgsova Bosonu – současný stav



## Kritická hustota hmoty ve Vesmíru:

$$M = \frac{4}{3} \pi R^3 \cdot \rho$$

$$\nu = HR$$

$$\frac{1}{2} m v^2 = G_N \frac{m M}{R}$$

$$\frac{1}{2} m (HR)^2 = G_N \frac{m}{R} \frac{4}{3} \pi R^3 \cdot \rho_c$$

$$\rho_c = \frac{3H^2}{8\pi G_N}$$

$$H \approx (50 \div 80) \text{ km s}^{-1} Mpc^{-1} = \frac{(50 \div 80) \cdot 10^3 ms^{-1}}{3,086 \cdot 10^{22} m} = (1,6 \div 2,6) \cdot 10^{-18} s^{-1}$$

$$G_N = 6,67 \cdot 10^{-11} Nm^2 kg^{-2} = 6,67 \cdot 10^{-11} kgms^{-2} m^2 kg^{-2}$$

$$\rho_c = \frac{3 \cdot (1,6 \div 2,6)^2 \cdot 10^{-36} s^{-2}}{8 \cdot 3,14 \cdot 6,67 \cdot 10^{-11} kg^{-1} m^3 s^{-2}} = (2,9 \div 7,6) \cdot 10^{-27} kgm^{-3}$$

# Jaké je složení hmoty a energie ve Vesmíru?

$$\rho_c = \frac{3H^2}{8\pi G_N^2} = 4,5 \cdot 10^{-24} g \cdot m^{-3};$$

Kritická hustota Vesmíru odpovídá přibližně 3 protonům v kubickém metru

$$\rho_c / m_p = \frac{4,5 \cdot 10^{-24} g \cdot m^{-3}}{1,67 \cdot 10^{-24} g} = 2,7 \frac{p}{m^3}$$

$$n_\gamma = 411 cm^{-3}$$

$$n_\nu = 6 \cdot 56 cm^{-3} = 336 cm^{-3}$$

$$\eta = \frac{n_B}{n_\gamma} \approx \frac{1}{3 \cdot 10^9}$$

$$n_B = 411 \cdot 10^6 / 3 \cdot 10^9 / m^3 = 0,14 p / m^3$$

$$336 \cdot 10^6 m^{-3} \frac{n_\nu}{m_p} = 2,7 p / m^3$$

$$m_\nu = \frac{2,7 \cdot 938,25 \cdot 10^6 eV}{336 \cdot 10^6} = 7,5 eV$$

Aby neutrina tvořila chybějící hmotu, musela by mít hmotu 7,5 eV, ale víme, že jsou lehčí než 2 eV

Ve Vesmíru je 400 fotonů reliktového záření v kubickém centimetru a asi 350 reliktních neutrin a antineutrín

Na 3 miliardy fotonů připadá jeden proton, tj. jejen 0,14 protonů v kubickém metru, jen asi 5% potřebného množství

Jednou z možností jak vysvětlit chybějící hmotu je existence tzv. **Supersymetrických (SUSY) partnerů** „obyčejných částic“.

Ke každěmu fermionu (**kvarkům a leptonům**) existují supersymetričtí partneři, jež jsou bosony = tzv. **skvarky a sleptony**

Ke každému z bosonů **gama, W, Z** existuje fermion. **fotino, Wino, ...**

Tyto supersymetrické částice jsou nestabilní, rozpadají se, ale nelehčí z nich, tzv. **LSP (Lightest Supersymmetric Particle)** je stabilní a může tvořit onu chybějící hmotu. Např. kdyby měla hmotu 100 GeV, stačila by 0,027 takové částice v krychlovém metru na to, aby hustota Vesmíru byla blízká ke kritické.

# Hlavní otázky současné fyziky částic:

- Existuje Higgsův boson? Jakou má hmotu?
  - Existují supersymetrické částice?
- Experimenty na LHC (Large Hadron Collider) v CERN.

-Jaká je hmota neutrin? Jaká je podstata oscilací neutrin?  
Neutrino experimenty

Jaký je původ „chybějící hmoty (energie) ve Vesmíru?  
Astročisticové experimenty, experimenty na LHC

**Samořejmě nejjednodušší by bylo odhalit nové jevy, např. existují extra dimenze časoprostoru?, jsou částice bodové? a další.**

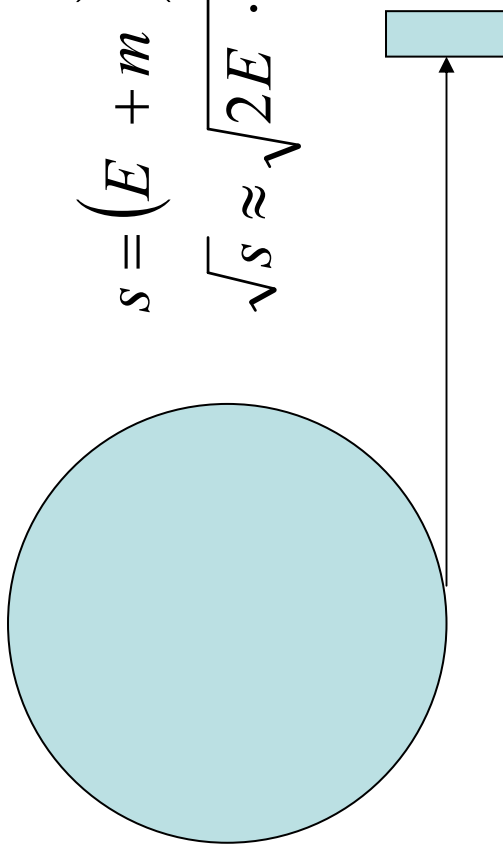
# Experimenty na urychlovačích částic

Urychlovat je možné pouze nabité dosmatečně dlouhožijící částice, v současnosti pouze stabilní, tj. protony a antiprotony, elektrony a positrony. Existují plány urychlovat miony.

Urychlovače protonů jsou kruhové.

Urychlovače elektronů jsou kruhové i lineární. Důvodem proč urychlovat elektrony s velkými energiami v lineárních urychlovačích jsou ztráty energie v důsledku pohybu po zakřivené dráze v kruhových urychlovačích.

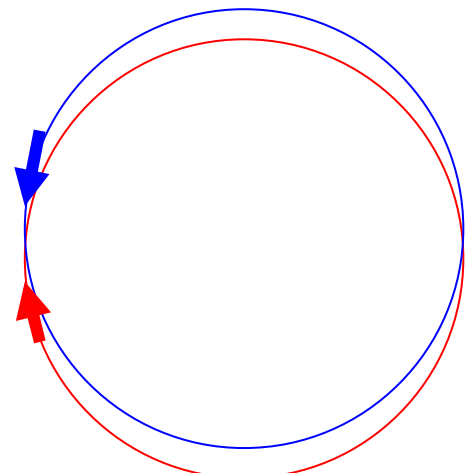
## Experimenty na pevném terči (fix target)

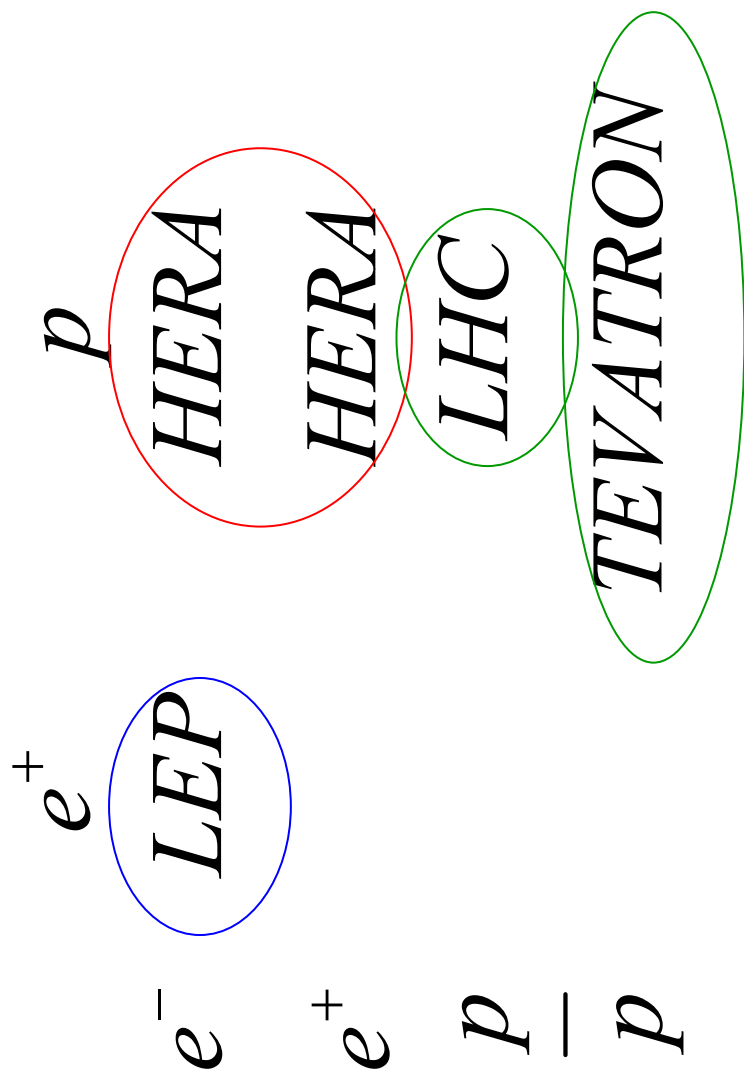


$$s = (E + m)^2 - \vec{P}^2 = M^2 + m^2 + 2E \cdot m \approx 2E \cdot m$$
$$\sqrt{s} \approx \sqrt{2E \cdot m}$$

## Experimenty na vstřícných svazcích (collider)

$$s = (E_1 + E_2)^2 - \left( \vec{P}_1 - \vec{P}_2 \right)^2 =$$
$$M_1^2 + M_2^2 + 2(E_1 \cdot E_2 + P_1 \cdot P_2) \approx 4E_1 \cdot E_2$$
$$\sqrt{s} \approx 2\sqrt{E_1 \cdot E_2}$$
$$E_1 = E_2 \Rightarrow \sqrt{s} \approx 2E$$





**LEP** – urychlovač v CERN Ženeva, ukončil práci v roce 2001

**HERA** – urychlovač v DESY Hamburg, ukončil práci v červnu 2007. Přesné měření struktury protonu.

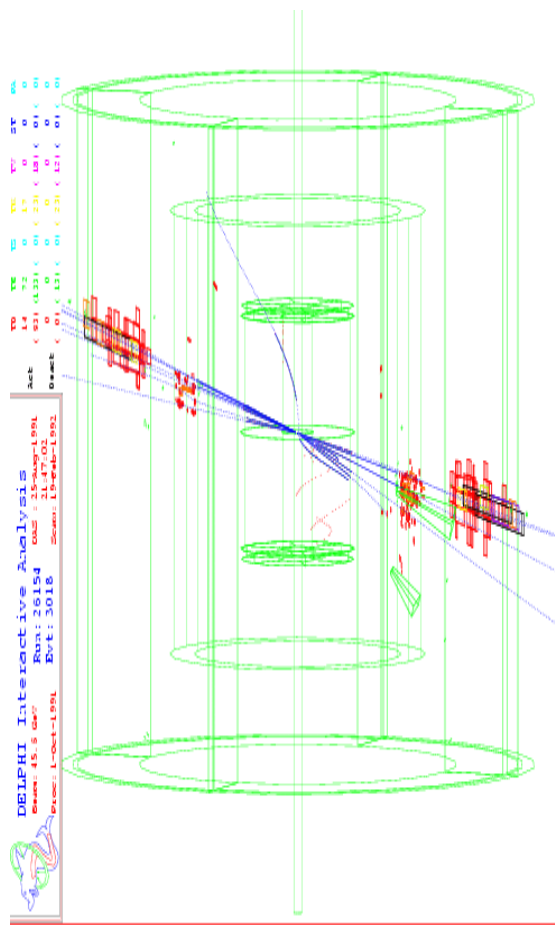
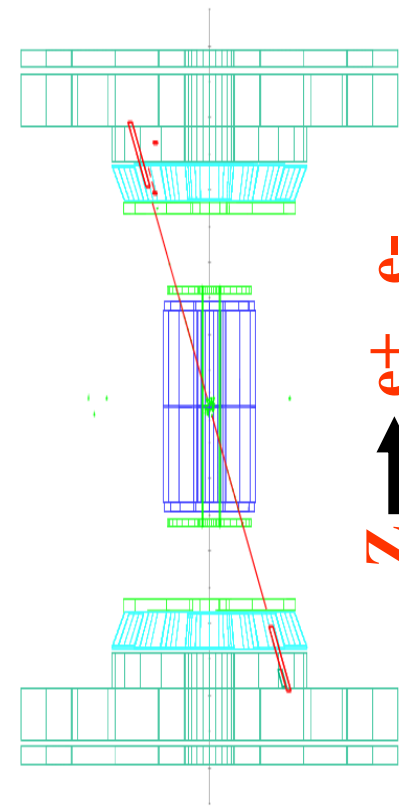
**TEVATRON** – urychlovač ve FNAL Batavia u Chicaga, bude pracovat nejméně do roku 2009 – objev top kvarku

**LHC** – urychlovač v CERN, zahájí provoz v roce 2008

# LEP (Large Electron Positron Collider) v CERN

## Produkce intermediálního bosonu Z v detektoru

DELPHI na LEP

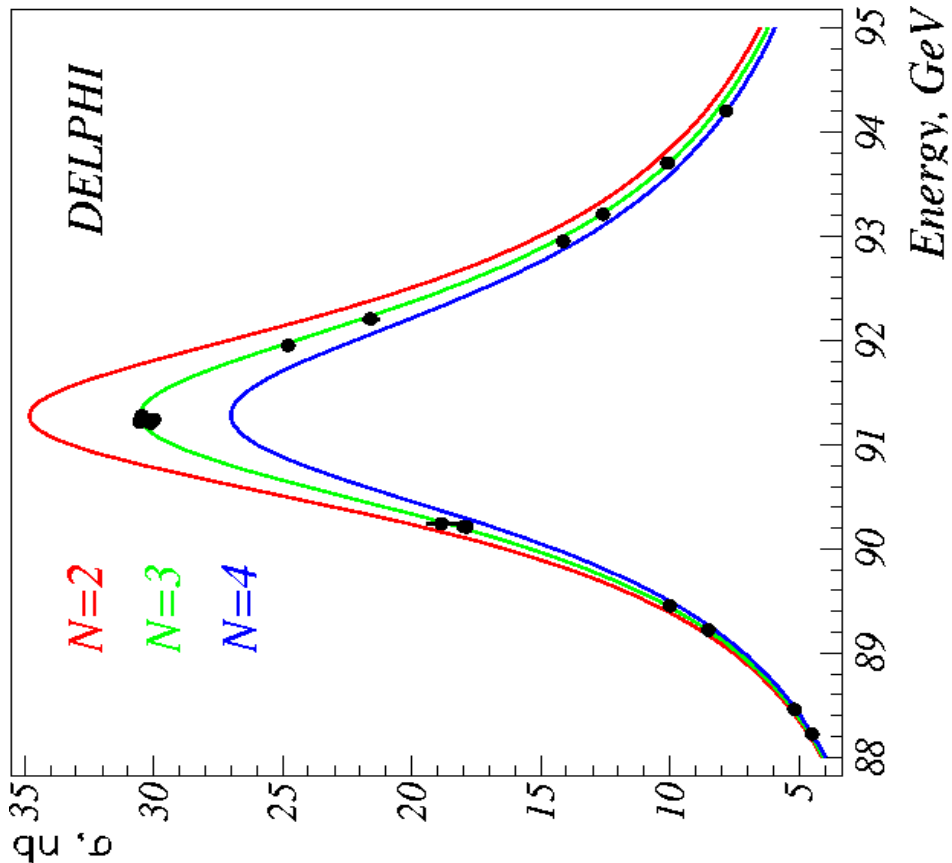


Z → q anti-q

## Hlavní výsledek z experimentů na urychlovači LEP:

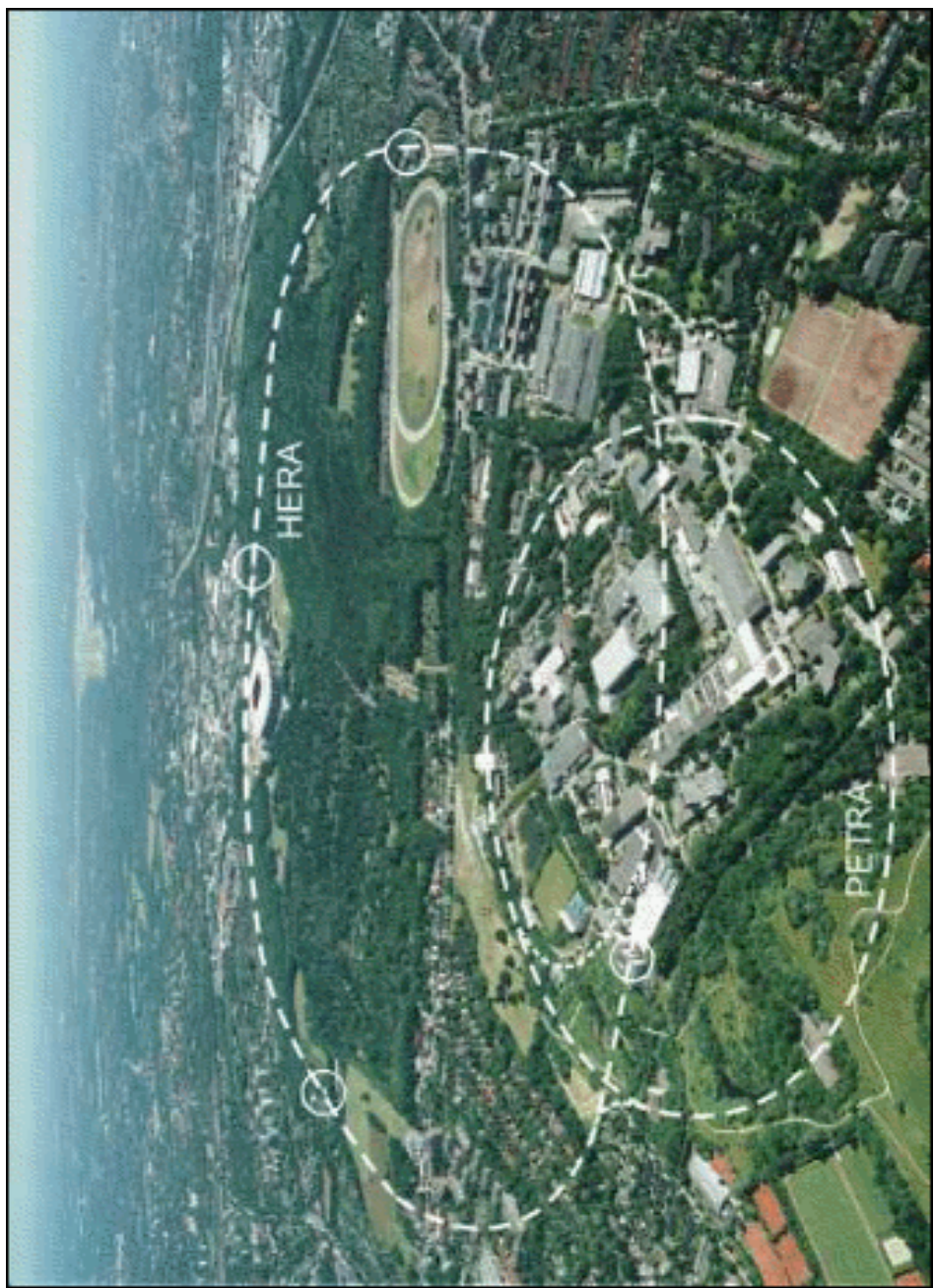
Existují právě tři typy neutrín

Existuje-li symetrie mezi počtem rodin kvarků a leptonů, pak tento výsledek znamená, že neexistuje další čtvrtá rodina kvarků.



# Urychlovač HERA v Deutsches Electronen Synchrotron laboratoři (DESY) v Hamburgu

$$e^\pm p \quad 27 \text{ GeV (e)} \times 920 \text{ GeV (p)}$$



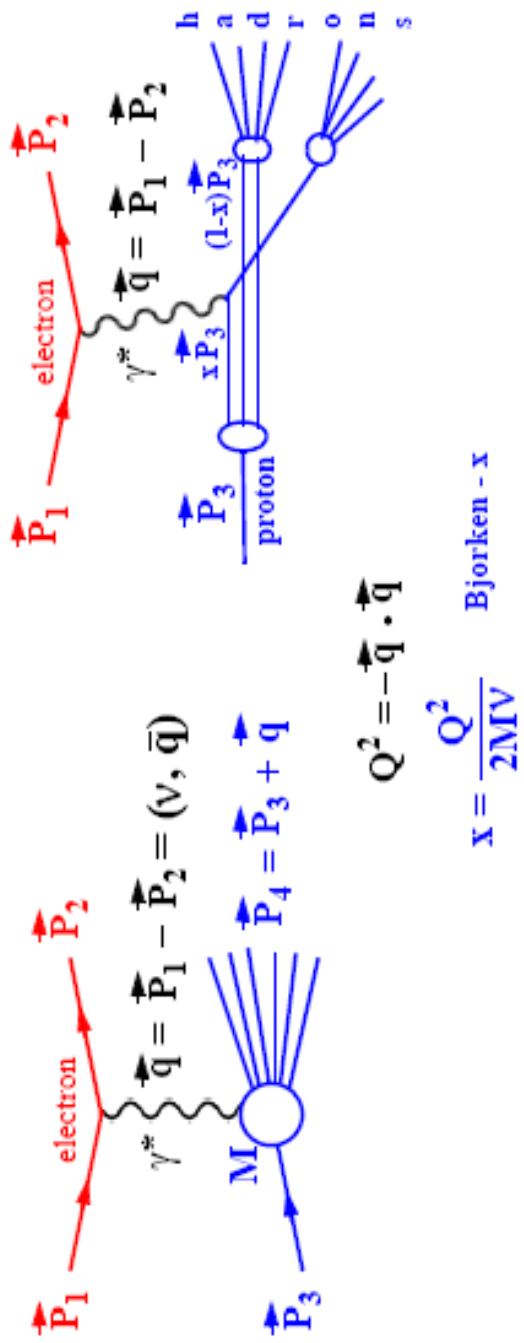
Hlavní úkol:

Zkoumání vnitřní  
struktury protonu

Srážka elektronu s protonem při velkých hodnotách přidané hybnosti:

Dojde k rozbití protonu a vzniku jemu částic  
Srážku lze popsat jako pružnou srážku elektronu s partonem (**part of proton**),  
který nese x tou ( $x = 0\text{--}1$ ) část energie a hybnosti protonu

# INELASTIC ELECTRON-PROTON SCATTERING

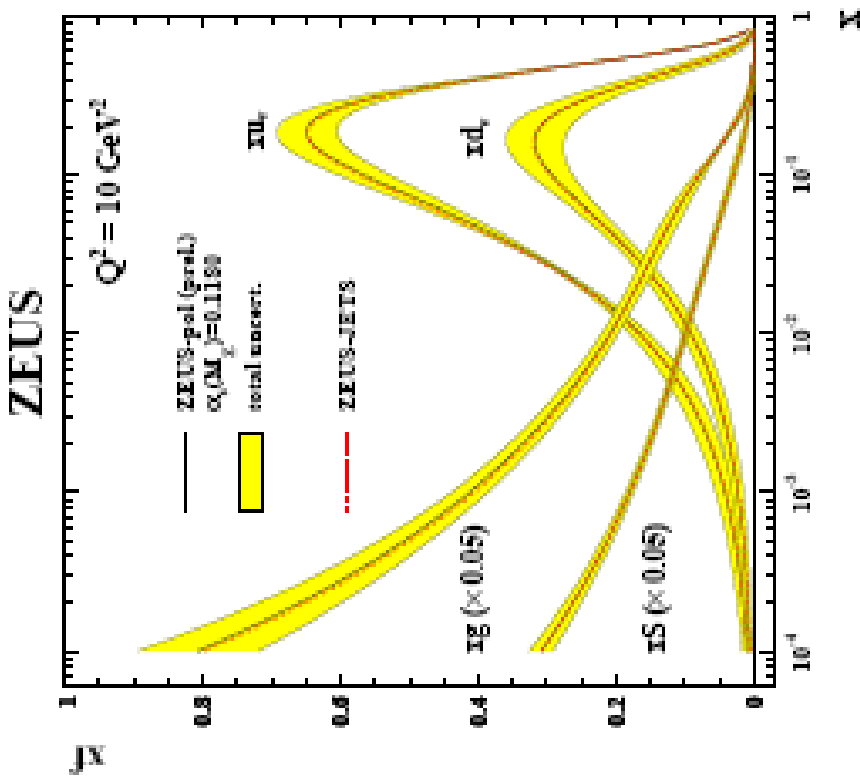


$$\frac{d\sigma}{dE_2 d\Omega} = \frac{\alpha^2}{4E_1^2 \sin^4(\frac{\theta}{2})} \cdot \frac{1}{V} \cdot \left[ F_2(x, Q^2) \cos^2(\frac{\theta}{2}) + \frac{Q^2}{xM} F_I(x, Q^2) \sin^2(\frac{\theta}{2}) \right]$$

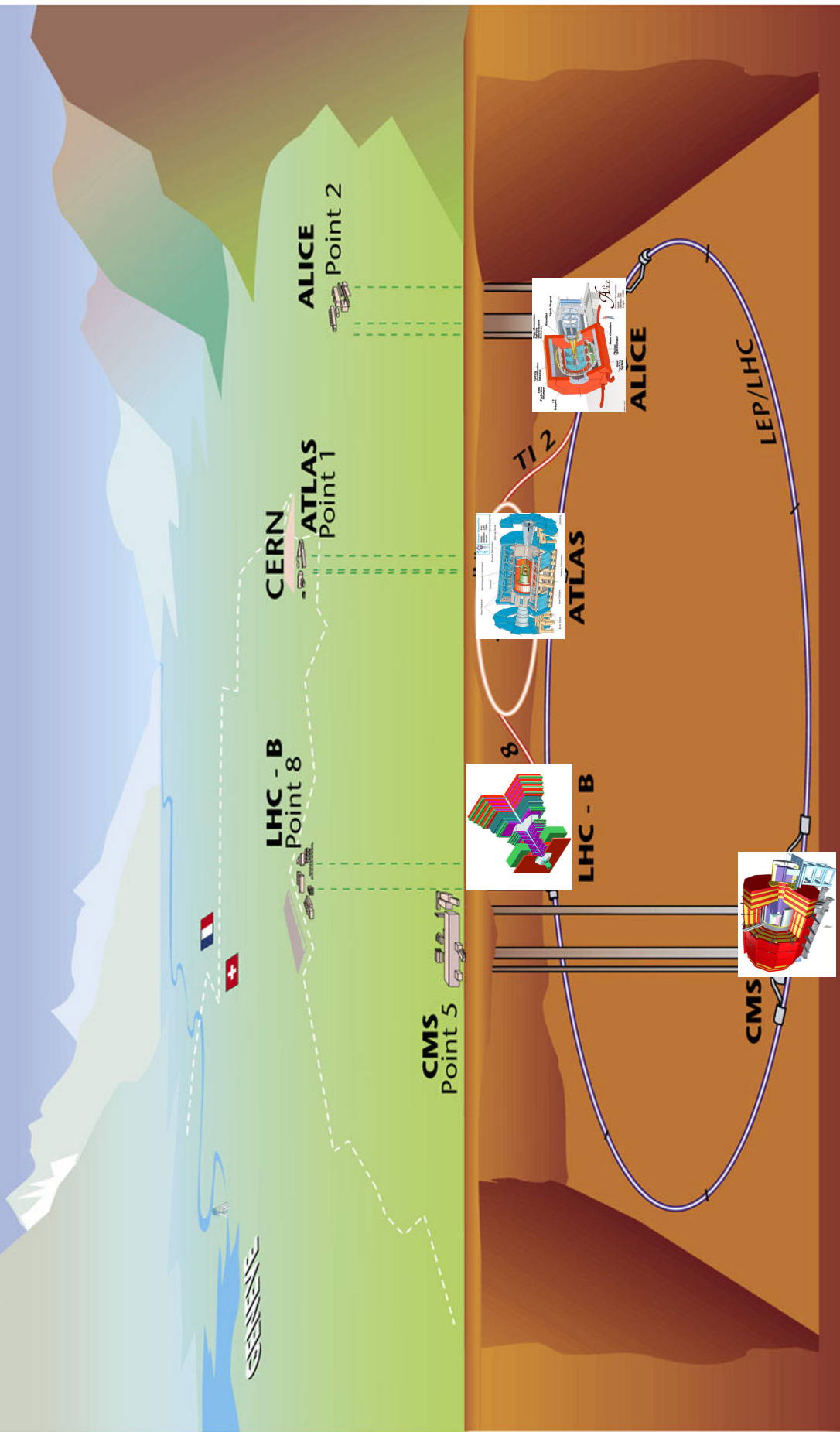
# Co jsou ony partony? Struktura protonu:

Přibližně polovinu energie a hybnosti nesou kvarky

Polovinu nesou gluony



# Overall view of the LHC experiments.



# ATLAS Collaboration

34 zemí  
151 ústavů  
1770 autorů

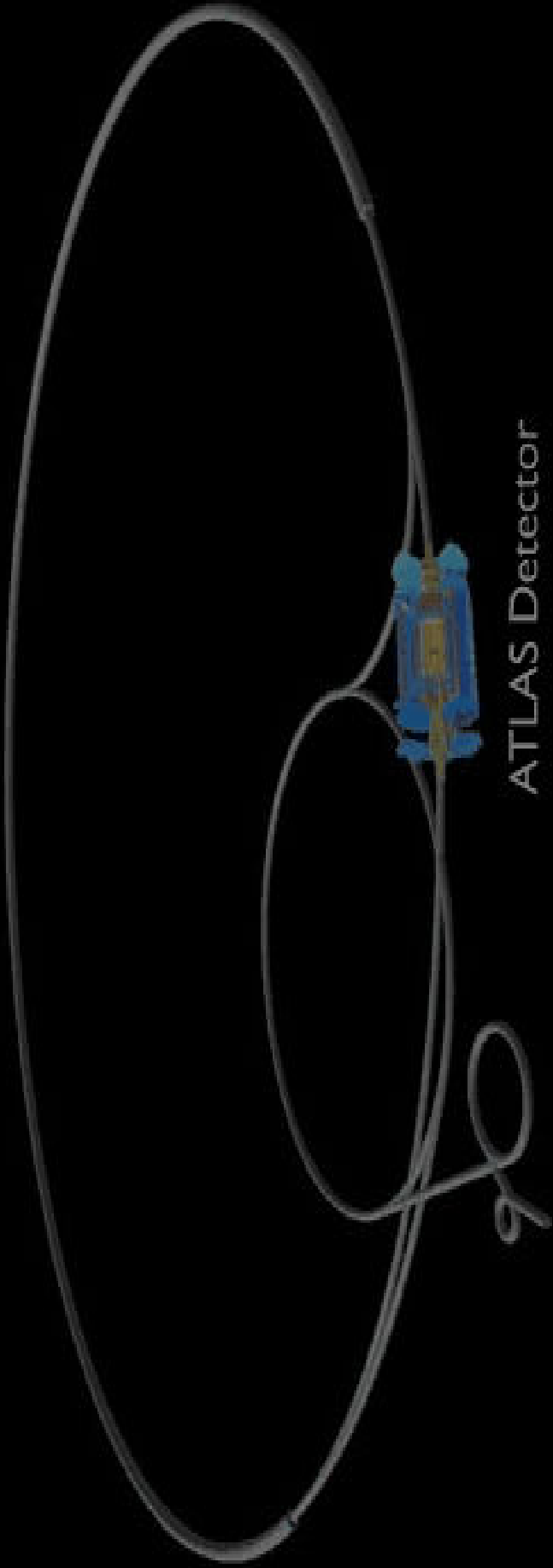


Albany, Alberta, NIKHEF Amsterdam, Ankara, LAPP Annecy, Argonne NL, Arizona, UT Arlington, Athens, NTU Athens, Baku, IFAE Barcelona, Belgrade, Bergen, Berkeley LBL and UC, Bern, Birmingham, Bonn, Boston, Brandeis, Bratislava/SAS Kosice, Brookhaven NL, Bucharest, Cambridge, CERN, Chinese Cluster, Clermont-Ferrand, Columbia, NBI Copenhagen, Cosenza, INFN Cracow, FPNT Dubna, Duke, Frascati, Freiburg, Geneva, Genoa, Glasgow, LPSC Grenoble, Technion Haifa, Harvard, Heidelberg, Hiroshima, Hiroshima IT, Indiana, Innsbruck, Iowa SU, Irvine UC, RHBNC London, UC London, Lund, UA Madrid, Mainz, Manchester, Mannheim, CPPM Marseille, MIT, Melbourne, QMW London, Michigan SU, Milano, Minsk NAS, Minsk NCPHEP, Montreal, FLAN Moscow, ITEP Moscow, MEPhI Moscow, MSU Moscow, Munich LMU, MPI Munich, Nagasaki IAS, Naples, Naruto UE, New Mexico, Nijmegen, Northern Illinois, BINP Novosibirsk, Ohio SU, Okayama, Oklahoma, LAL Orsay, Oslo, Oxford, Paris VI and VII, Pavia, Pennsylvania, Pisa, Pittsburgh, **CAS Prague, CU Prague, TU Prague**, IHEP Protvino, Ritsumeikan, UFRJ Rio de Janeiro, Rochester, Rome I, Rome II, Rome III, Rutherford Appleton Laboratory, DAPNIA Saclay, Santa Cruz UC, Sheffield, Shinshu, Siegen, Simon Fraser Burnaby, Southern Methodist Dallas, NPI Petersburg, Stockholm, KTH Stockholm, Stony Brook, Sydney, AS Taipei, Tbilisi, Tel Aviv, Thessaloniki, Tokyo ICEPP, Tokyo MU, Tokyo UAT, Toronto, TRIUMF, Tsukuba, Tufts, Ucdine, Uppsala, Urbana UI, Valencia, UBC Vancouver, Victoria, Wisconsin, Wuppertal, Yale, Yerevan

PLAY ▶

Large Hadron Collider

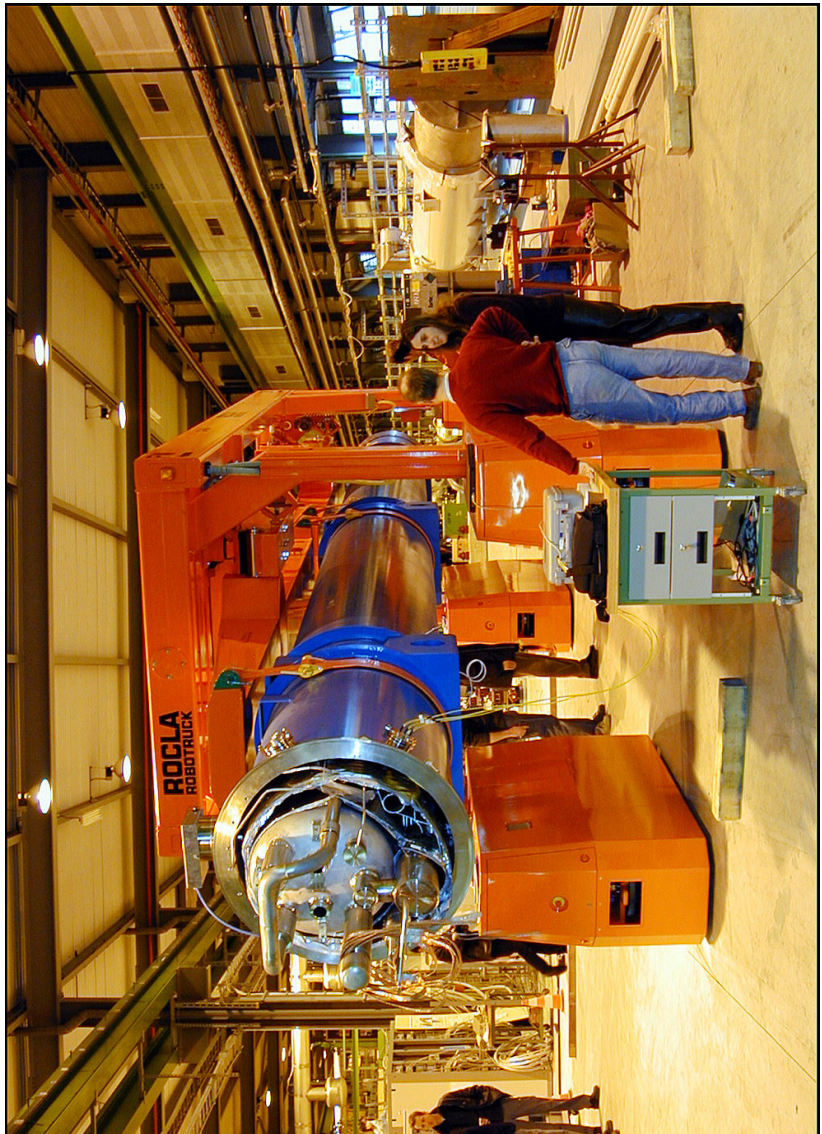
ATLAS Detector



# Parametry urychlovače LHC

- Energie  $2 \times 7 \text{ TeV}$  (současný největší urychlovač je TeVatron ve Fermi National Accelerator Laboratory FNAL nedaleko Chicaga v USA)

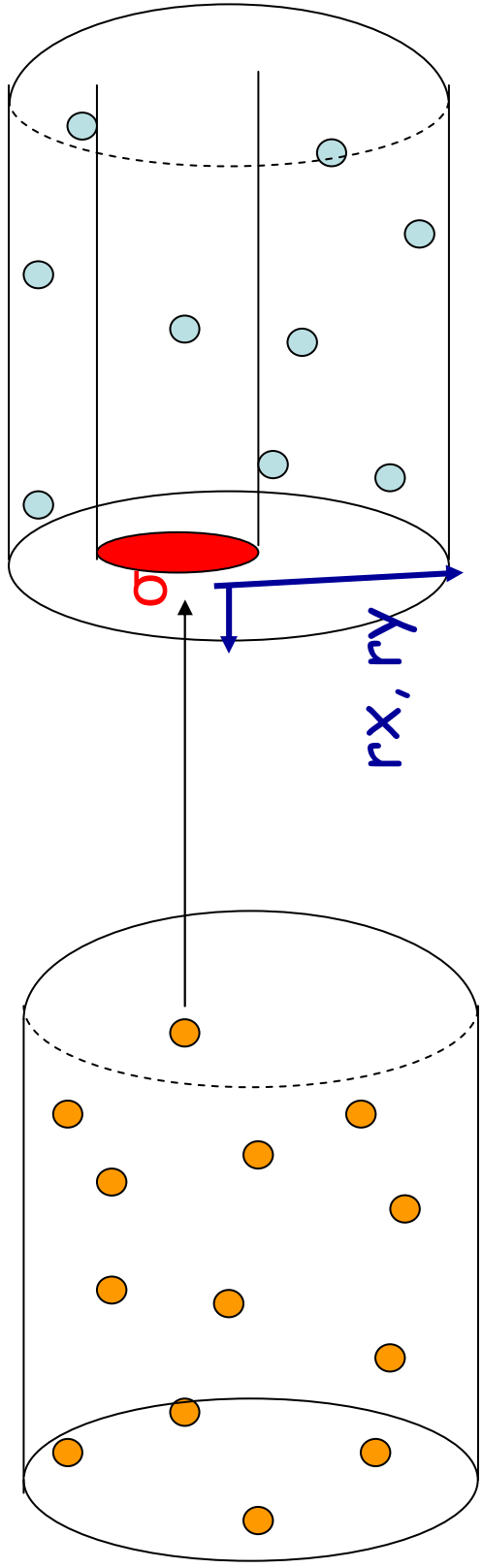
K tomu je nutné magnetické pole  $8 \text{ T}$  podle vztahu:  
 $0,3 \text{ B (T)} \text{ Reff (km)} = 7 \text{ TeV}$



# Parametry urýchlovače LHC

- Účinné průřezy (pravděpodobnosti interakcí jsou úměrné  $1/E^2$ , tj. o řád vyšší energie potřebuje také o dva řády vyšší intenzity)
- Světelnost 100 fm<sup>-1</sup> za 1 rok
- „bunches“ částic, v každém  $10^{11}$  protonů jsou od sebe vzdáleny 7.5 m, tj. frekvence srážek je 25 ns (rychlosť světla = 30 cm/ns)

# Luminosita (světelnost)



$$N_{\text{int}} = \sigma \frac{N}{\pi \cdot r_x \cdot r_y} \cdot N \cdot f \cdot t$$

$$N_{\text{int}} = \sigma \int \frac{N}{\pi \cdot r_x \cdot r_y} \cdot N \cdot f \cdot dt$$

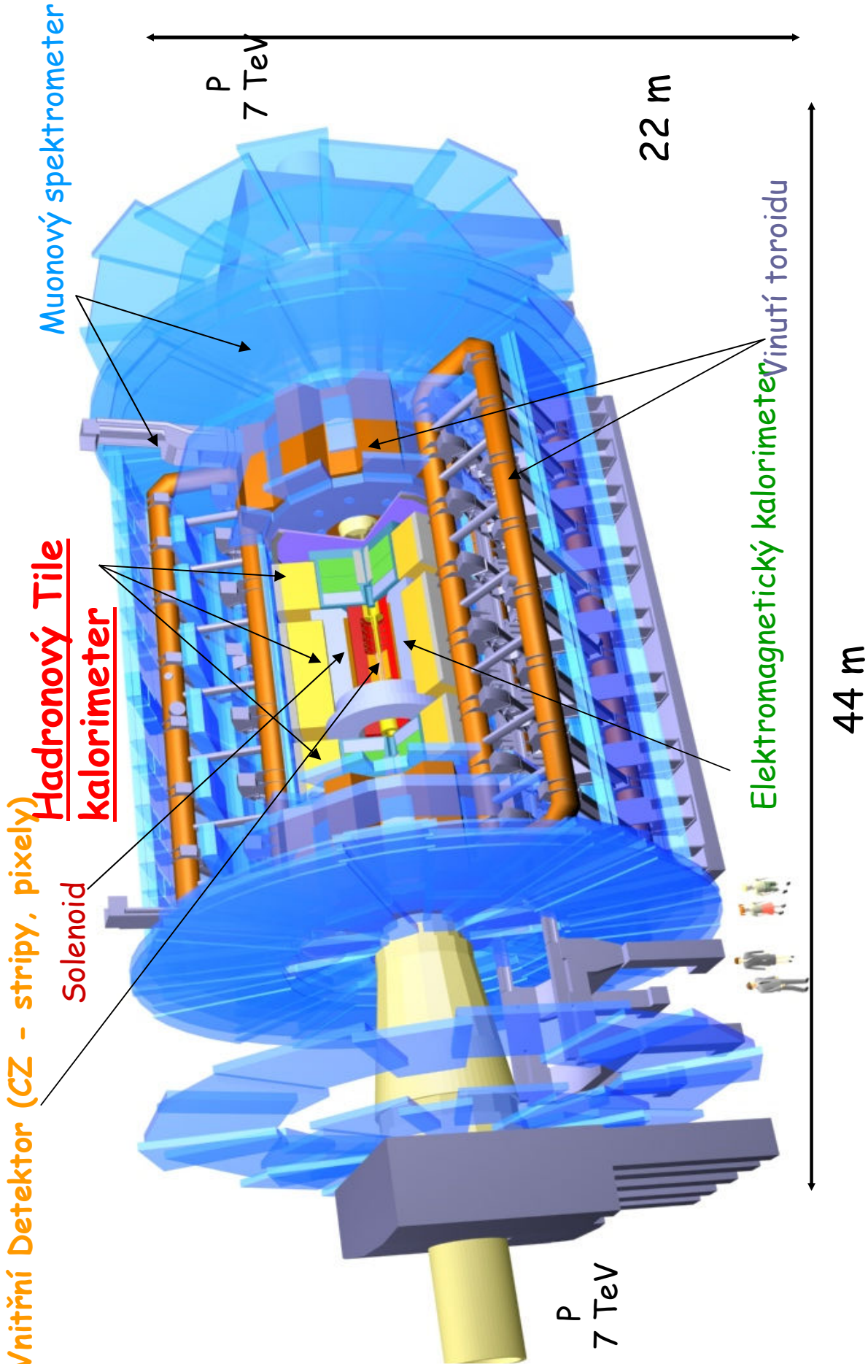
$$l = \frac{N}{\pi \cdot r_x \cdot r_y} \cdot N \cdot f = \frac{10^{11}}{3,14 \cdot 2 \cdot 10^{-3} \text{ cm} \cdot 2 \cdot 10^{-3} \text{ cm}} \cdot 10^{11} \cdot \frac{1}{25 \cdot 10^{-9} \text{ s}} =$$

$$l_{\text{max}} \cong 3 \cdot 10^{34} \text{ cm}^{-2} \text{ s}^{-1}$$

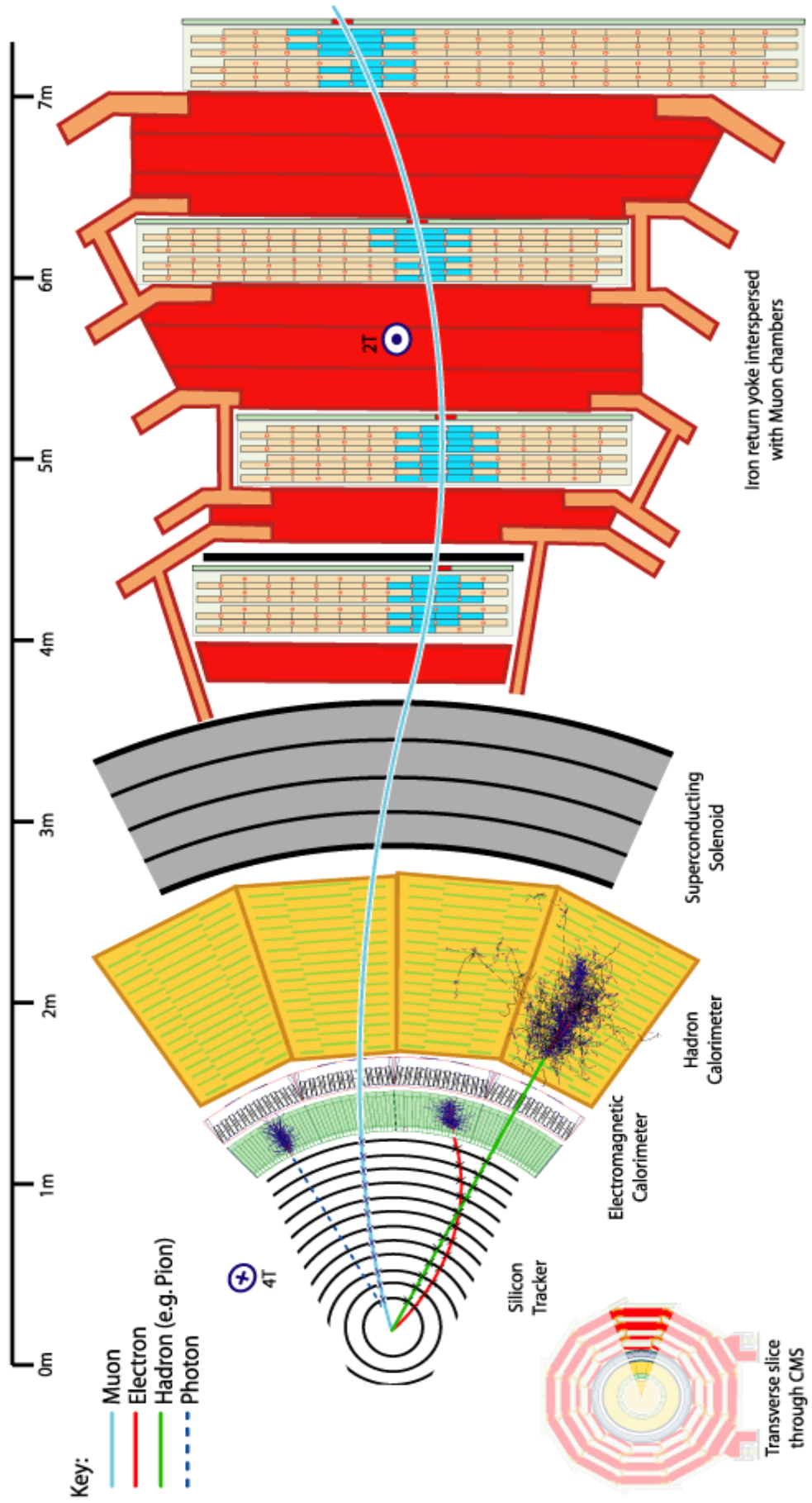
$$L = \int \frac{N}{\pi \cdot r_x \cdot r_y} \cdot N \cdot f \cdot dt = 10^{34} \cdot 10^7 \text{ cm}^{-2} = 100 \cdot \frac{1}{10^{-15} \cdot 10^{-24} \text{ cm}^2} = \frac{100}{fb}$$

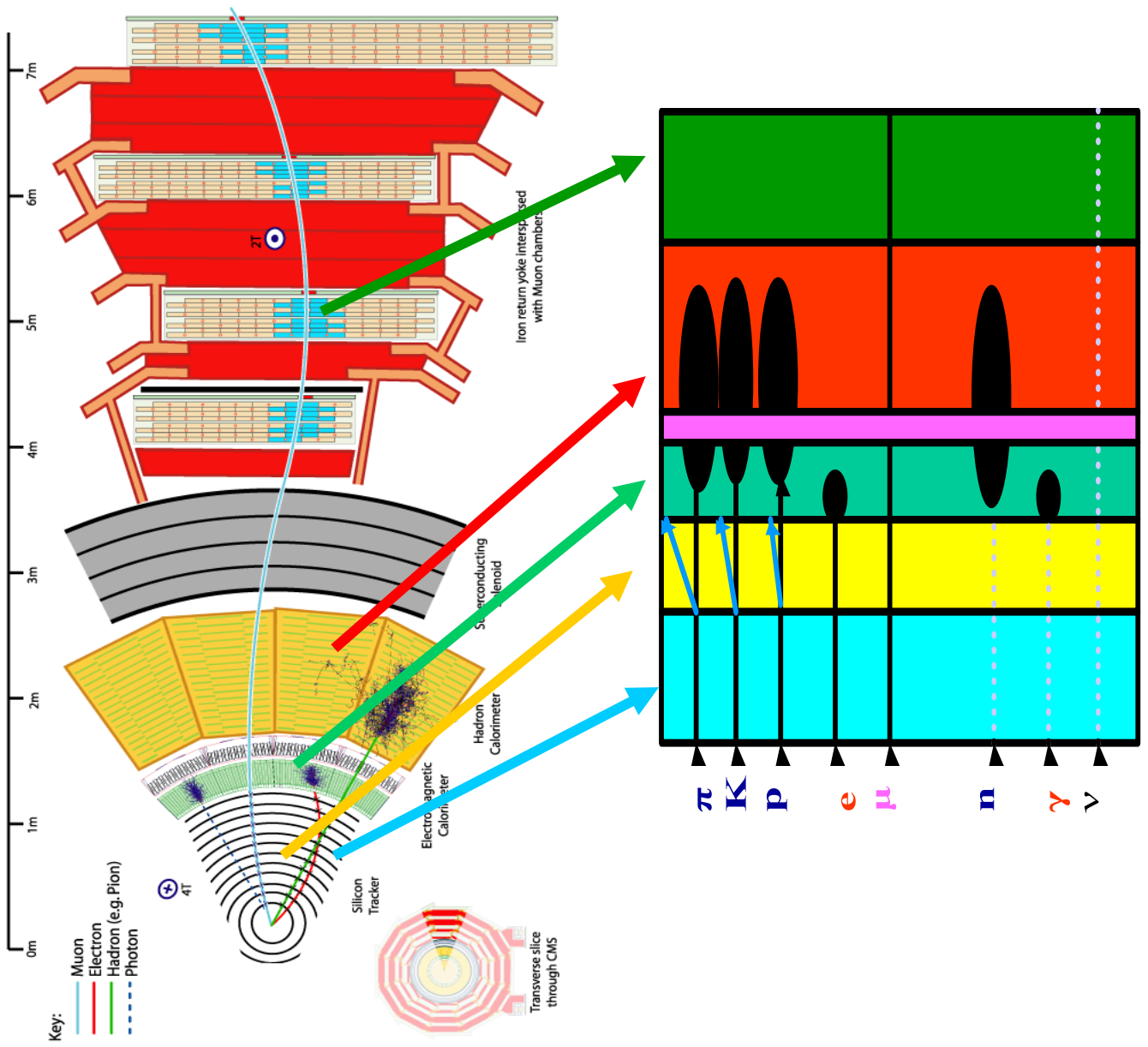
# ATLAS Detektor

Celková váha  $\sim 7000$  t

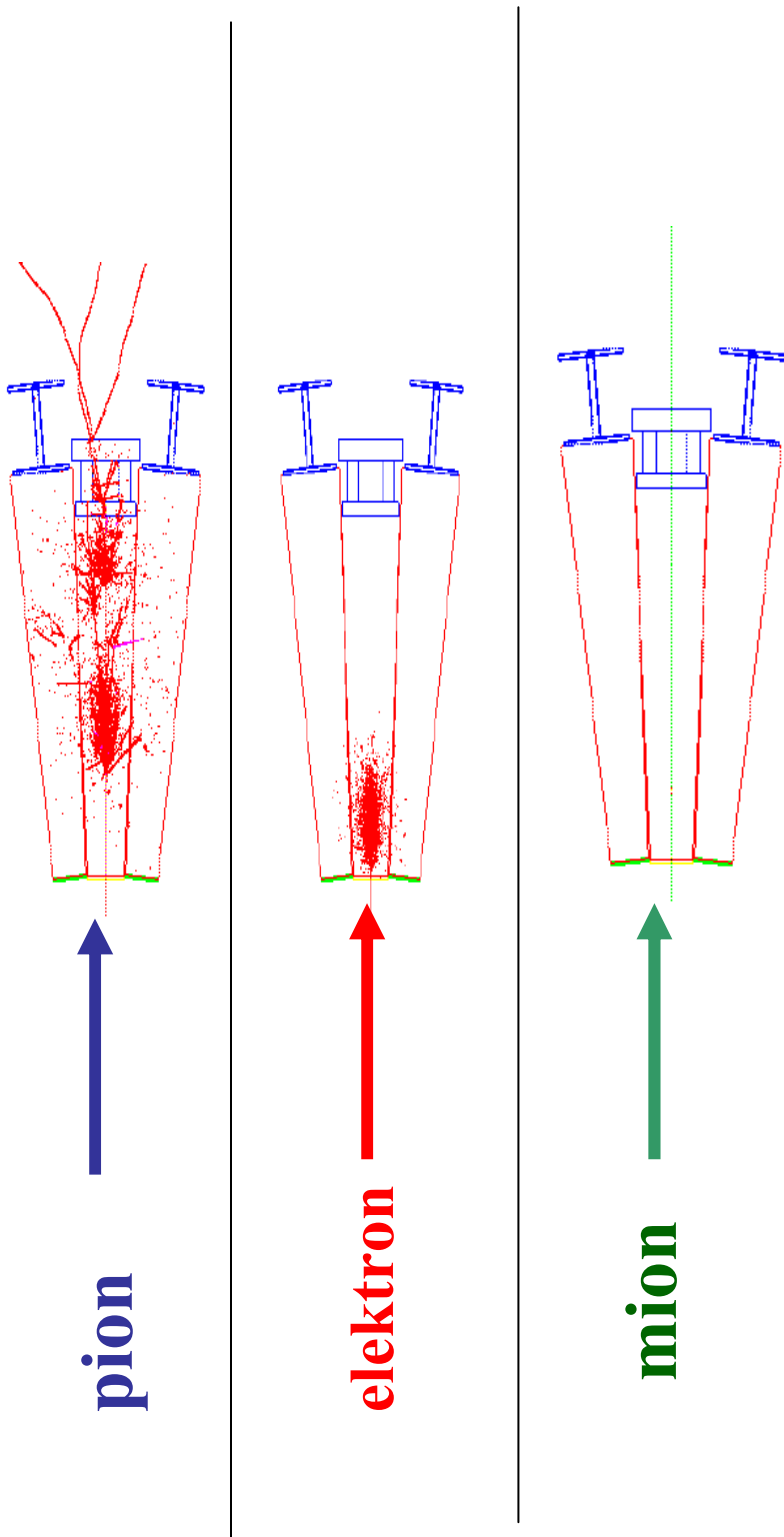


# Detektory sloužící pro měření energie, hybnosti a identifikaci částic,



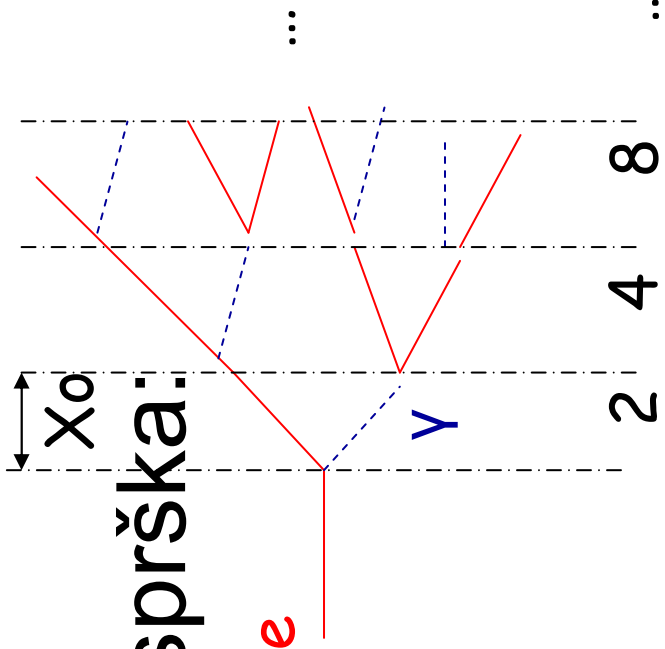


# Identifikace částic podle odezvy v kalorimetru



# Elektromagnetický kalorimetru

- Elmg. sprška:



$$\frac{E}{2^N} = \varepsilon$$

$$\frac{7 \cdot 10^6 MeV}{2^N} = 10 MeV$$

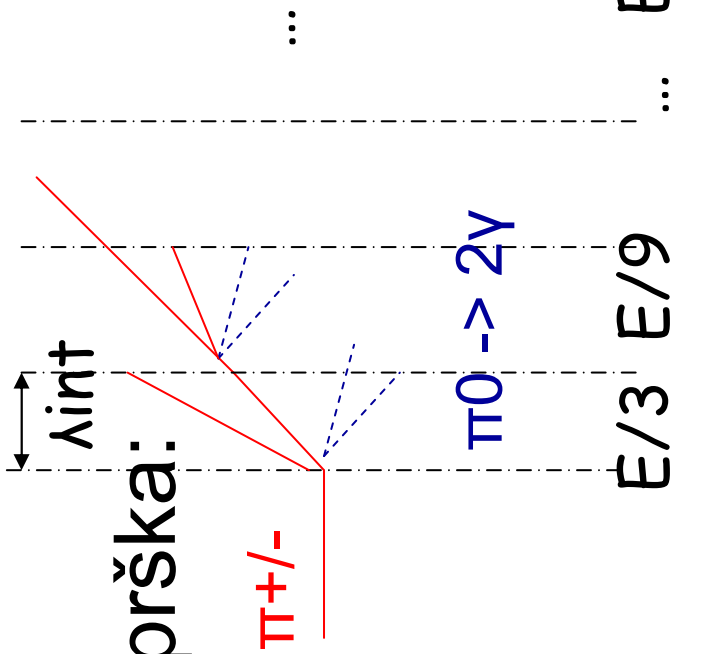
$x_0$  je radiační délka = 5,6 mm pro  
ollovo

$$2^N = 7 \cdot 10^5 \Rightarrow N \cong 20 \quad x_0 \text{ má hloubku } 25 \times 0$$

Elektromagnetický kalorimetru Atlas

# Hadronový kalorimetrum

- Elmg. sprška:



$$\frac{E}{3^N} = \epsilon$$

$$\frac{7 \cdot 10^3 GeV}{3^N} = 1 GeV$$

$\lambda_{int}$  v železe je asi 20 cm,  
kalorimetry Atlas mají  
hloubku min. 9  $\lambda_{int}$

$$3^N = 7 \cdot 10^3 \Rightarrow N \cong 8 \lambda_{int}$$

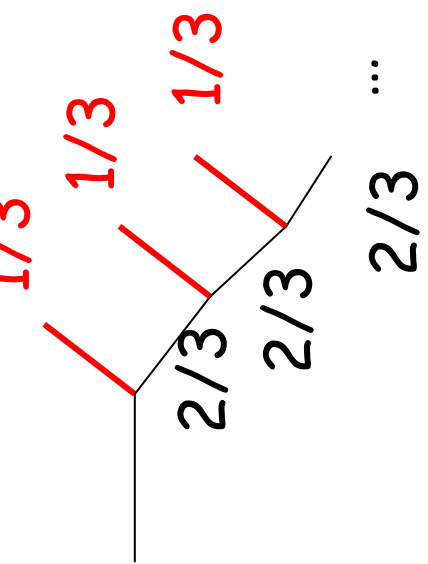
# Hadronová sprška

- Elektromagnetická část v hadronové sprše:

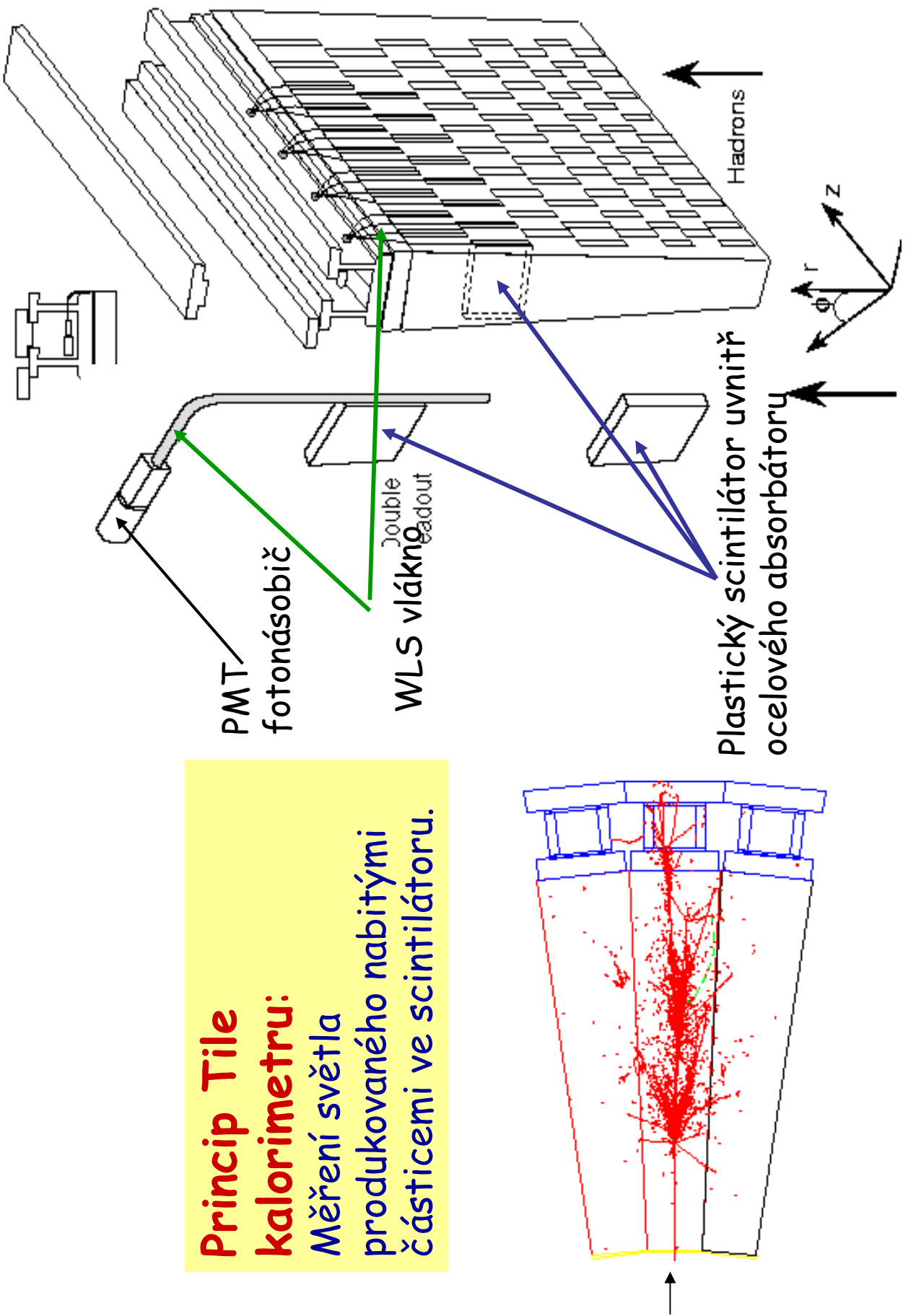
$$f_{em} = 1/3 + (2/3) \cdot (1/3) + (2/3)^2 \cdot (1/3) + \dots$$

$$f_{em} = 1/3 \cdot \left(1 + \frac{2}{3} + \left(\frac{2}{3}\right)^2 + \left(\frac{2}{3}\right)^3 + \dots + \left(\frac{2}{3}\right)^N\right)$$

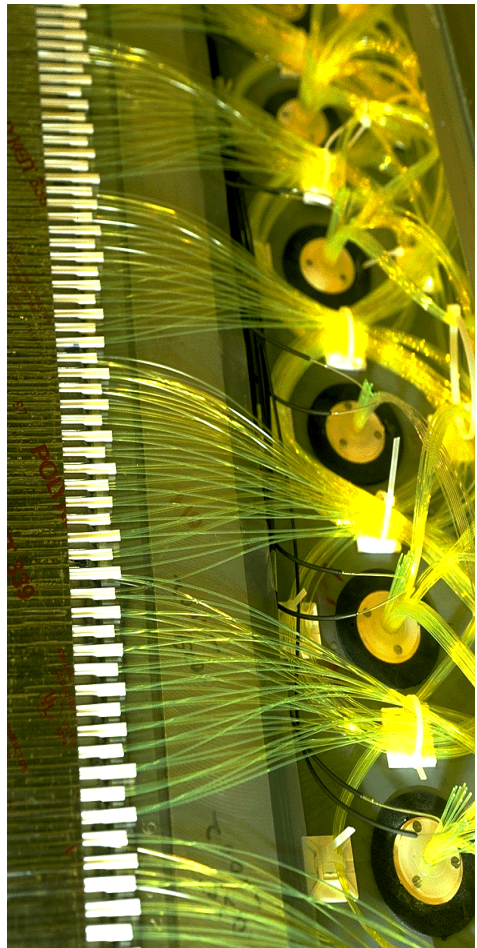
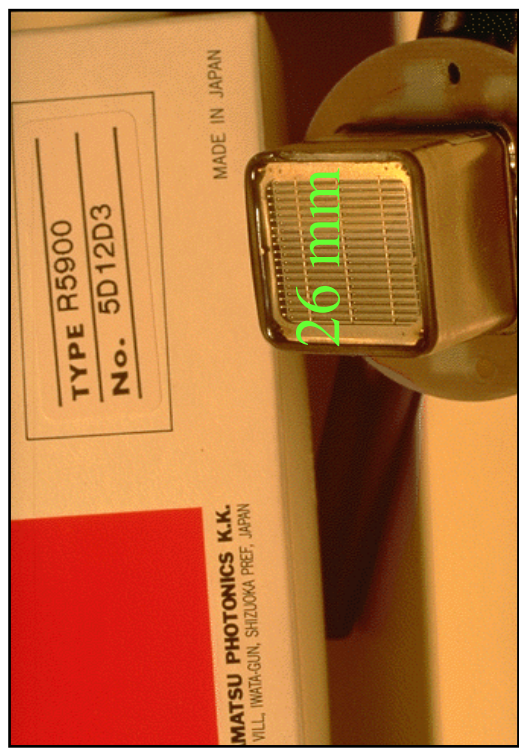
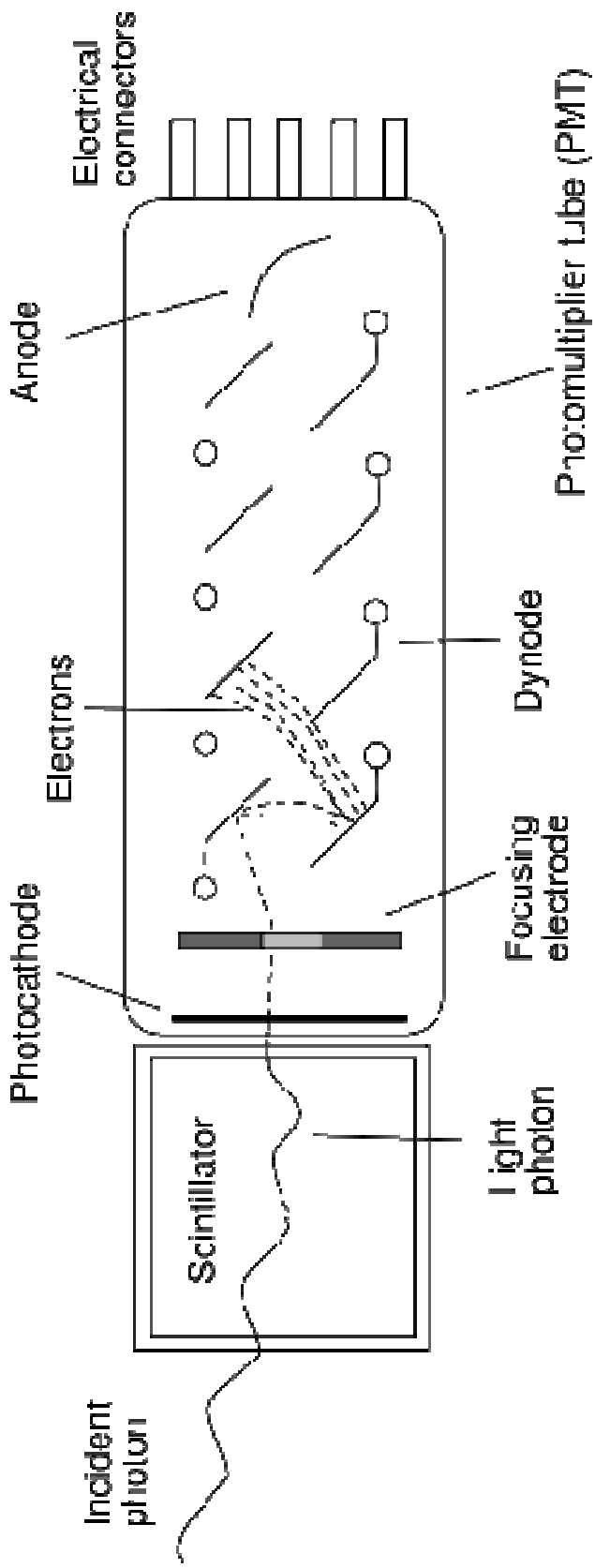
$$f_{em} = 1/3 \cdot \frac{1 - \left(\frac{2}{3}\right)^N}{1 - \frac{2}{3}} = 1 - \left(\frac{2}{3}\right)^N$$



Protože odezva calorimetru na elmg. část je zpravidla větší, jsou hadronové calorimetry nelineární

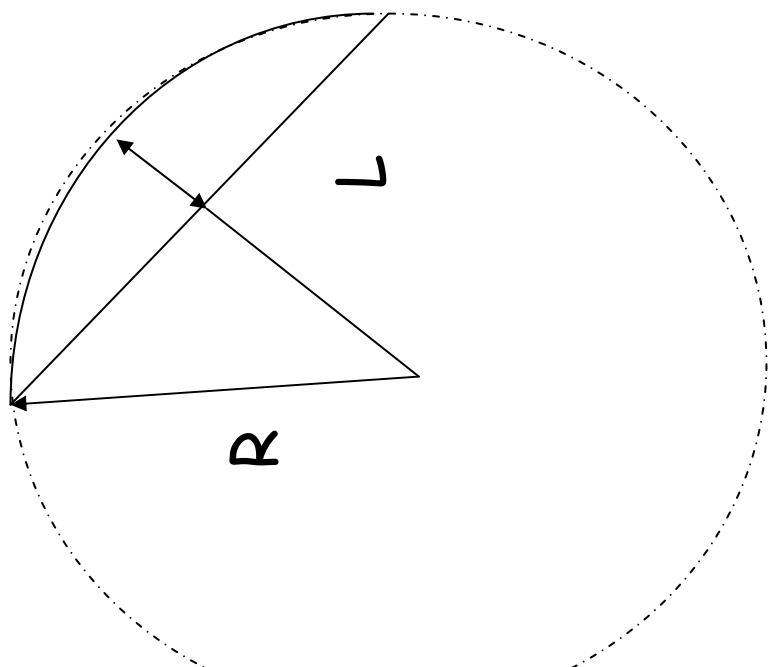


# Fotonásobiče PhotoMultiplier Tubes (PMT)



# Měření hybnosti mionů

$$sagita = R - \sqrt{R^2 - (L/2)^2} \approx R - R(1 - \frac{1}{2} \frac{L^2}{4R^2}) = \frac{L^2}{8R}$$



$$0,3BR = p \Rightarrow R = \frac{p}{0,3B}$$

$$sagita = \frac{0,3}{8} BL \cdot L \frac{1}{p}$$

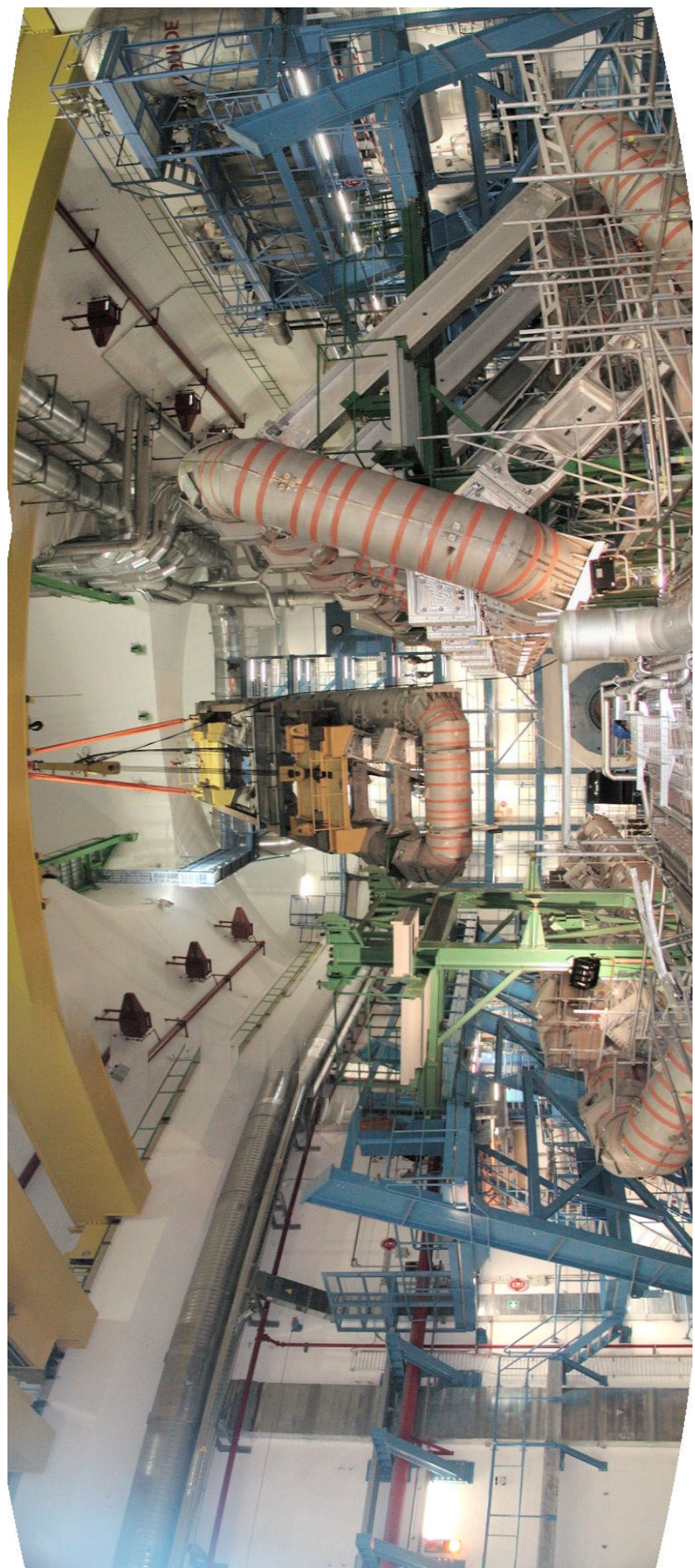
$$p = 1TeV$$

$$L = 5m$$

$$BL = 8Tm$$

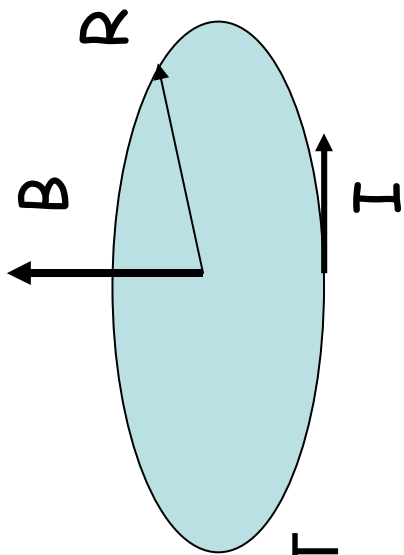
$$sagita = \frac{0,3}{8} 8Tm \cdot 2,5m \frac{1}{1000GeV} = 750\mu m$$

Chceme-li měřit s přesností 10%, pak musíme být schopni změřit sagitu s přesností 75 mikronů.



# Magnetické pole v torroidálních magnetech

- Torroid  $5.5 \times 26$  m, což je přibližně ekvivalent kruhu o poloměru 6.5 m
- Uprostřed je v Atlas pole 2.5 T



$$B = \frac{\mu}{4\pi} \frac{2\pi IN_{závit}}{R} = 10^{-7} \frac{6.28IN_{závit}(Azávit)}{6.5(m)}$$

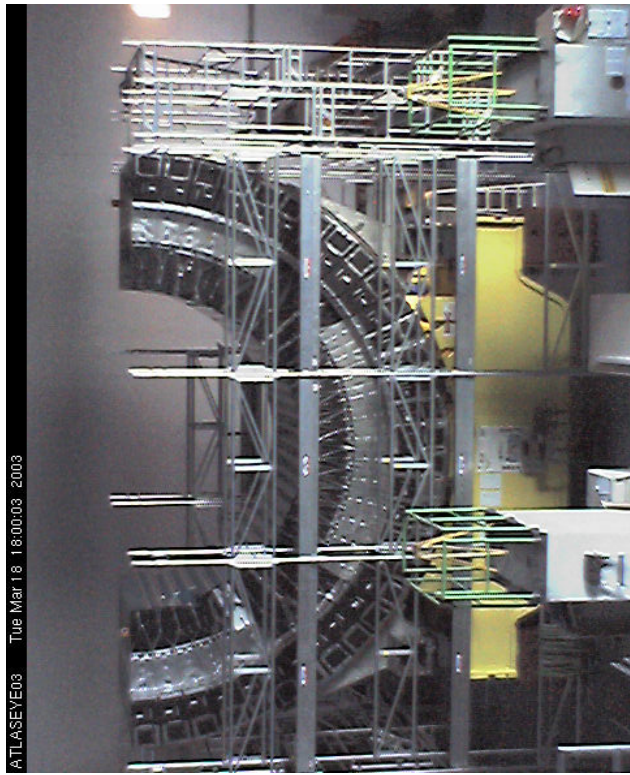
$$B = 2.5T \Rightarrow IN_{závit} \cong 2500000 Ampérezávit = \\ 120 závitů \times 20500 A$$



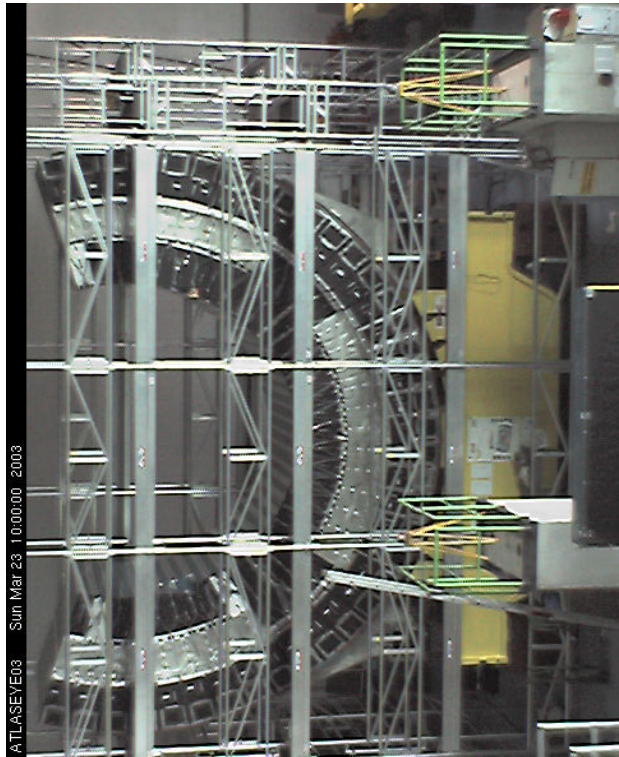
## Skládání TileCal na povrchu



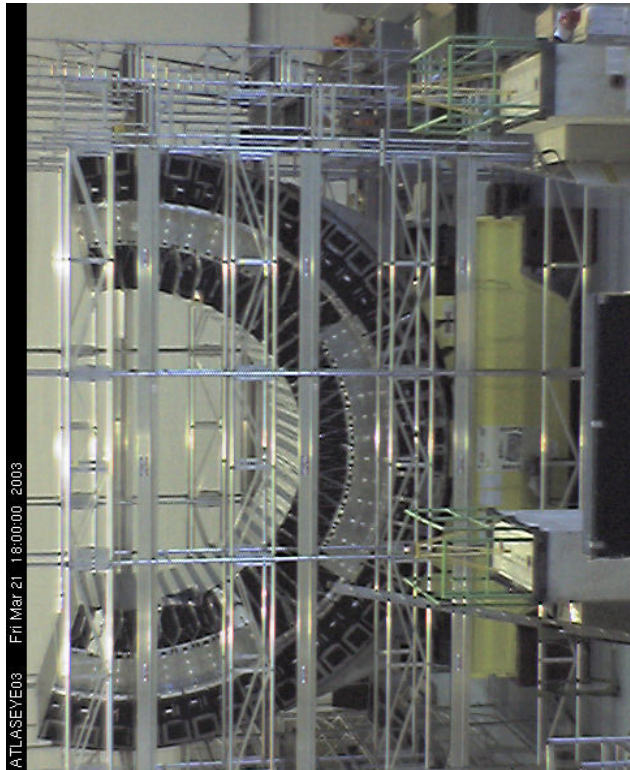
**18.3.2003**



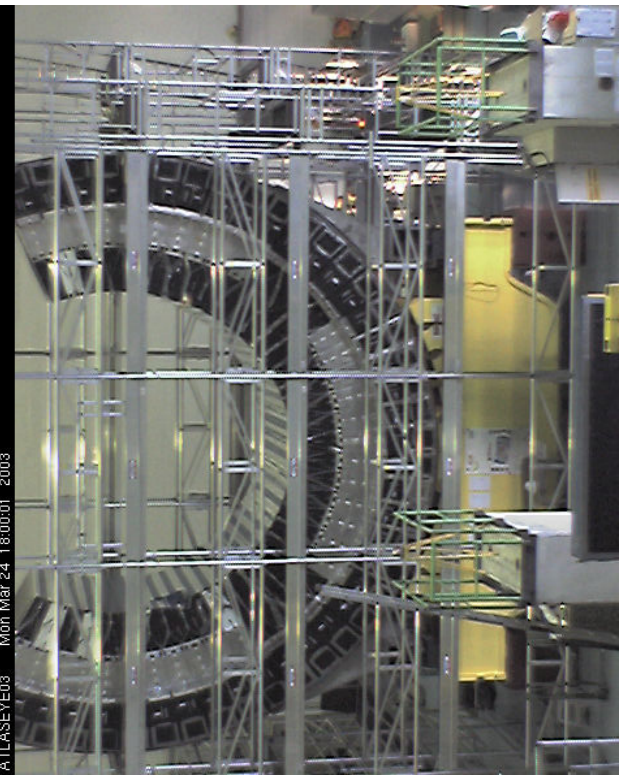
**23.3.2003**

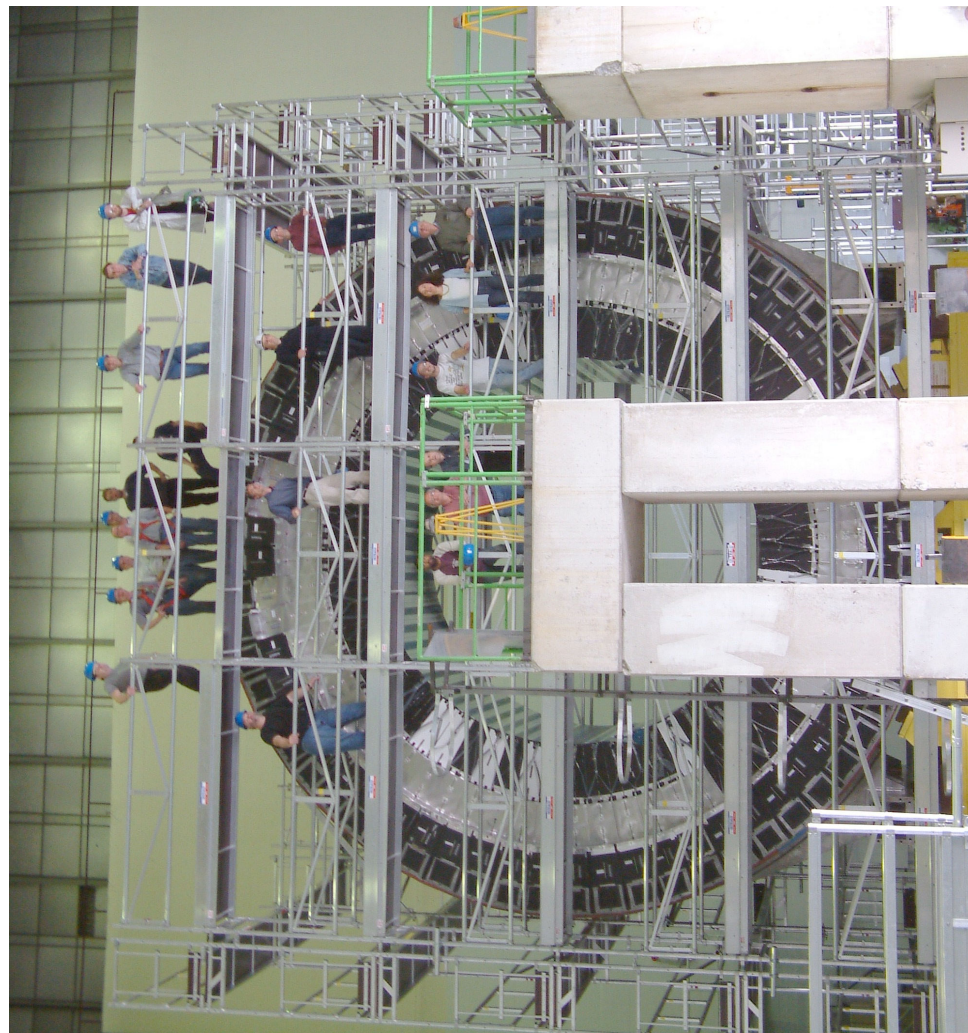


**21.3.2003**

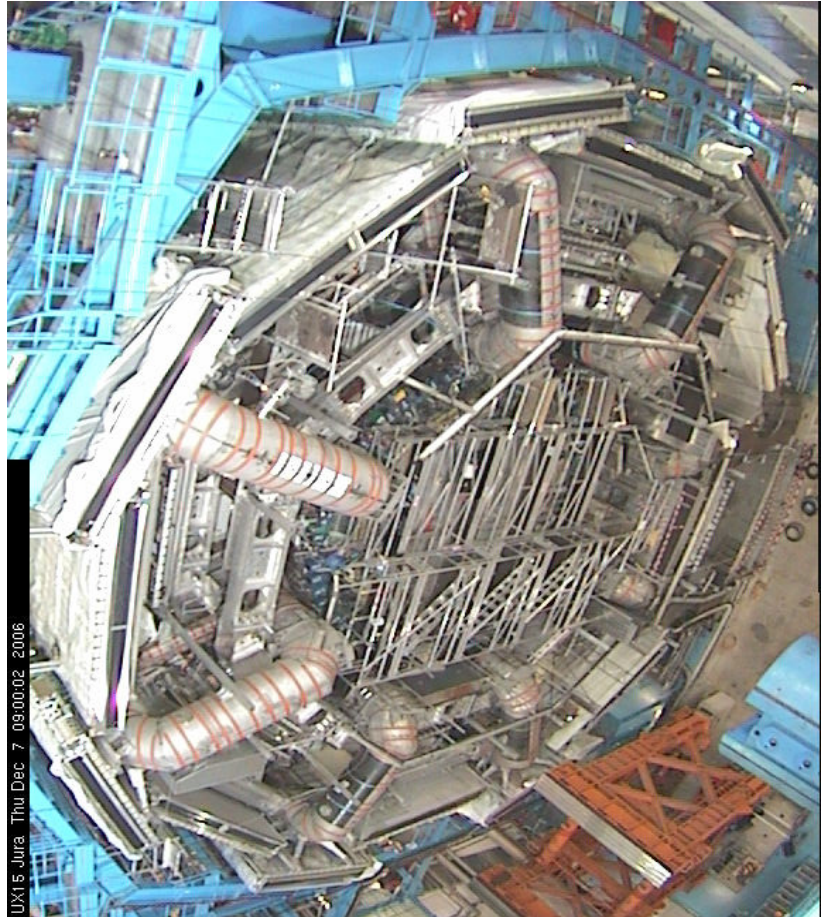
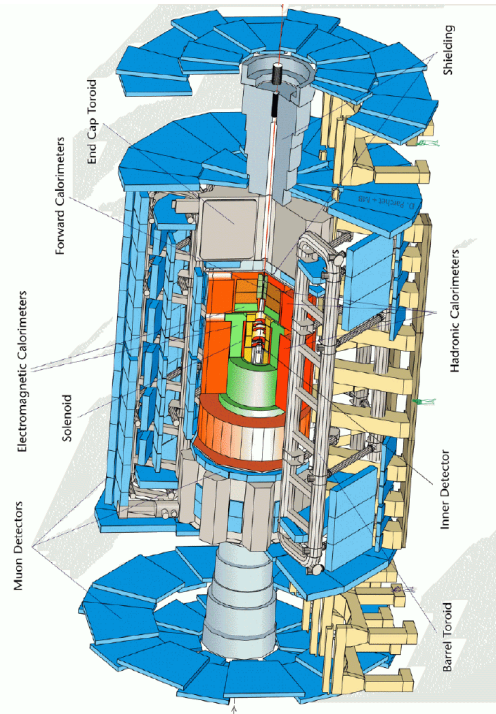


**24.3.2003**





# Dnešní stav montáže Atlas



# Příklad fyzikálního zkoumání v experimentu

## Atlas Hledání Higgsova bosonu

- Higgsův boson je hmotná částice se spinem 0, dosud neobjevená
- V nejjednodušší verzi Standardního modelu existuje jeden  $H$  s nulovým nábojem a spinem 0
- Amplituda rozpadu  $H$  je úměrná hmotě částic na něž se může Higgsův boson rozpadnout (pravděpodobnost je úměrná kvadrátu hmoty)
  - **Higgsův boson se rozpadá na nejtěžší částice na něž se může rozpadnout**

# Lehký Higgsův boson

- Hmota menší než  $2 \text{ M}_W = 2 \times 80 \text{ GeV}$  (intermediální boson slabé interakce W)

$\sim 80\% \quad H \rightarrow b\bar{b}$

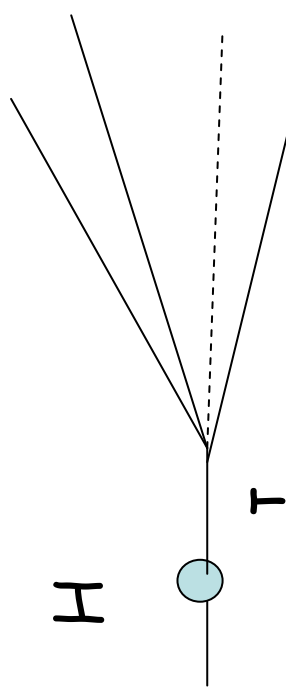
$\sim 10\% \quad H \rightarrow \tau^+ + \tau^- \rightarrow \pi^+ V_\tau + \pi^- \overline{V}_\tau$

Nezměřeno = celkem 6 veličin –  $p_x, p_y$  a  $p_z$  obou neutrín  
Kolineární approximace – neutrina letí ve směru pionu. Pak nám „chybí“ pouze dvě proměnné – velikosti hybností neutrín  
Tyto dvě proměnné lze določit, vezmeme-li do úvahy, že vektor Hybnosti kolmý na směr počátečních protonů je nula. Odtud dostanu dvě dodatečné rovnice, které umožní zjistit  $p$  neutrín a Určit jejich invariantní hmotu = hmota Higgse.

# Porovnání výsledků pro kolineární approximaci (vlevo) a nové metody Tomáše a Jany– podle doběhu tau leptonu (vpravo)

$$ct = 87,11 \mu m$$

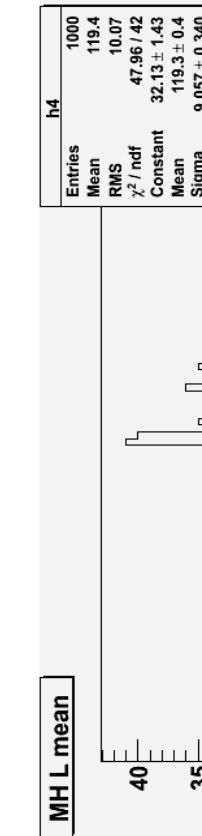
$$\beta\gamma c t = \frac{p_\tau}{m_\tau} 87,11 \mu m = \frac{60 GeV}{1,77 GeV} 87,11 \mu m = 2,95 mm$$



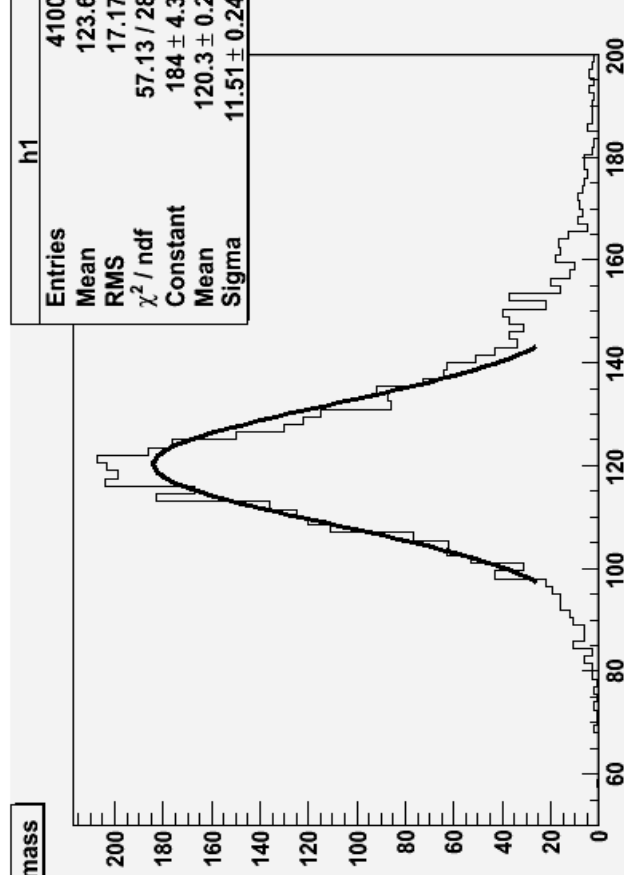
Hmass

h1		4100
Entries		123.6
Mean		17.17
RMS		57.13 / 28
$\chi^2 / \text{ndf}$		184 ± 4.3
Constant		120.3 ± 0.2
Mean		11.51 ± 0.24
Sigma		

MH\_L\_mean



Hmass



# Těžký Higgsův boson

Tři neznámé (složky hybnosti neutrina) určíme z podmínek na příčnou hybnost (2 rovnice) a z toho, že invariantní hmota  $|v| = M_w$

$$H \rightarrow W^+ + W^- \rightarrow \overline{q} \overline{q}' + l^- \overline{l}^- \nu_\tau \bar{\nu}_\tau$$
$$H \rightarrow Z^0 + Z^0 \rightarrow l_1^+ l_1^- + l_2^+ l_2^-$$

Vše změřeno – tzv.

Gold Plate kanál

# Určení spinu Higgsova bosonu

